ФГБУ «Арктический и антарктический научно-исследовательский институт» МЦД МЛ

Информационные материалы по мониторингу морского ледяного покрова Арктики и Южного Океана на основе данных ледового картирования и пассивного микроволнового зондирования SSMR-SSM/I-SSMIS-AMSR2

22.12.2014 - 30.12.2014

Контактная информация:

лаб. МЦДМЛ ААНИИ, тел. +7(812)337-3149, эл.почта: wdc@aari.ru

Адрес в сети Интернет: http://wdc.aari.ru/datasets/doo42/

Содержание

Северное Полушарие
Рисунок 1а – Обзорная ледовая карта СЛО и повторяемость кромки за текущую неделю
Рисунок 16 – Положение кромки льда и зон разреженных и сплоченных льдов СЛО за последний
доступный срок на основе ледового анализа НЛЦ США
Рисунок 2a — Общая сплоченность морского льда СЛО и субарктических морей по данным AMSR2 за
последний доступный
Рисунок 26 – Общая сплоченность морского льда морей СМП по данным AMSR2 за последний доступный
срок
Рисунок 3 – Обзорная ледовая карта СЛО за текущую неделю и аналогичные периоды 2007-2012 гг7
Рисунок 4 – Поля распределения средневзвешенной толщины льда на основе совместной модели
морского льда – океана ACNFS за текущие сутки и 2010-2013 гг
Таблица 1 – Динамика изменения значений ледовитости для акваторий Северной полярной области за текущую неделю по данным наблюдений SSMR-SSM/I-SSMIS
Таблица 2 - Медианные значения ледовитости для Северной полярной области и 3-х меридиональных
секторов за текущие 30 и 7-дневные интервалы и её аномалии от 2009-2013 гг. и интервалов
2004-2014 гг. и 1978-2014 гг. по данным наблюдений SSMR-SSM/I-SSMIS
Таблица 3 – Экстремальные и средние значения ледовитости для Северной полярной области и 3
меридиональных секторов за текущий 7-дневный интервал по данным наблюдений SSMR-
SSM/I-SSMIS, алгоритм NASATEAM
Рисунок 5 – Ежедневные оценки сезонного хода ледовитости для Северной Полярной Области и её
трех меридиональных секторов за период с 26.10.1978 по текущий момент времени по годам11
Рисунок 6 – Медианные распределения сплоченности льда за текущие 7 и 30 дневные интервалы
времени и её разности относительно медианного распределения за те же промежутки за 1978-
2014 и 2003-2014гг. на основе расчетов по данным SSMR-SSM/I-SSMIS,алгоритм NASATEAM .13
The state of the s
Южный океан
Рисунок 7а – Положение кромки льда и зон разреженных и сплоченных льдов Южного Океана за
последний доступный срок на основе ледового анализа НЛЦ США
Рисунок 7б – Общая сплоченность морского льда Южного океана и границы районов ГМССБ
MET3OH VI, VII, X, XIV и XV16
Рисунок 8 – Ежедневные оценки сезонного хода ледовитости Южного Океана и его трёх
меридиональных секторов за период с 26.10.1978 по текущий момент времени по годам17
Рисунок 9 – Медианные распределения общей сплоченности льда за текущие 7 и 30 дневные
интервалы времени и её разности относительно медианного распределения за те же промежутки за периоды 1978-2014 и 2004-2014 гг. на основе расчетов по данным SSMR-SSM/I-SSMIS17
Таблица 4 – Динамика изменения значений ледовитости для акваторий Южного океана за текущий 7- дневный интервал по данным наблюдений SSMR-SSM/I-SSMIS
Таблица 5 - Медианные значения ледовитости для Южного океана и 3 меридиональных секторов за
текущие 30 и 7-дневные интервалы и её аномалии от 2009-2013 гг. и интервалов 2004-2014 гг. и
1978-2014 гг. по данным наблюдений SSMR-SSM/I-SSMIS, алгоритм NASATEAM18
Таблица 6 – Экстремальные и средние значения ледовитости для Южного океана и 3
меридиональных секторов за текущий 7-дневный интервал по данным наблюдений SSMR-
SSM/I-SSMIS, алгоритм NASATEAM
Приложение 1 – Статистические значения ледовитостей по отдельным акваториям Северной
Полярной Области и Южного океана
Таблица 7 – Средние, аномалии среднего и экстремальные значения ледовитостей для Северной
полярной области и её отдельных акваторий за текущие 7 и 30 дневные промежутки времени по
данным наблюдений SSMR-SSM/I-SSMIS, алгоритм NASATEAM за период 1978-2014 гг19
Таблица 8 – Средние, аномалии среднего и экстремальные значения ледовитостей для Южного
океана и его отдельных акваторий за текущие 7 и 30 дневные интервалы времени по данным
наблюдений SSMR-SSM/I-SSMIS, алгоритм NASATEAM за период 1978-2014 гг21
Таблица 9 – Динамика изменения значений ледовитости для акваторий Северной полярной области и
Южного океана за текущую неделю по данным наблюдений SSMIS
Vanagetanyatiyaa hayatiyata watanyata waxaayyaa naayatan
Характеристика исходного материала и методика расчетов

Северное Полушарие

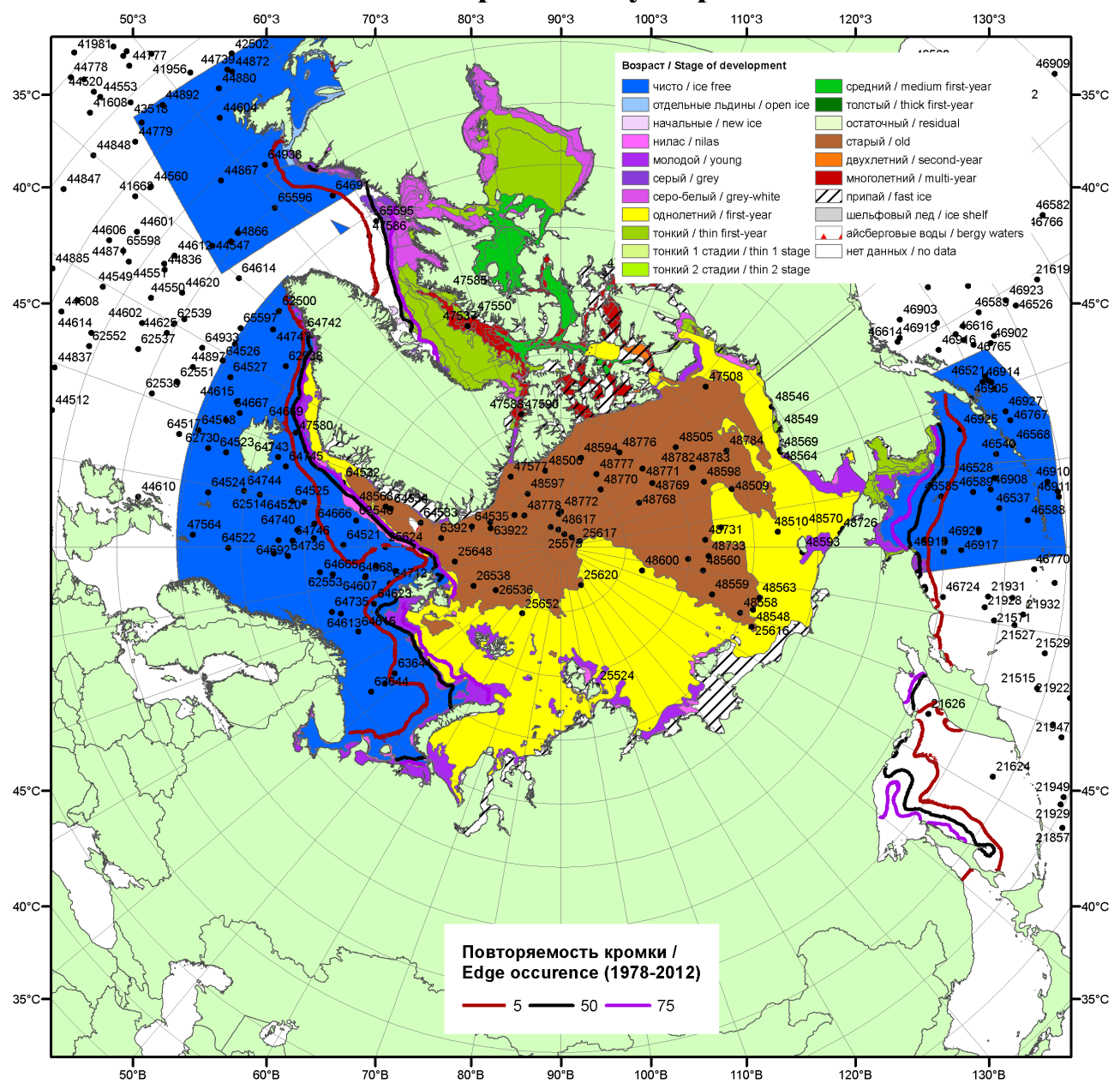


Рисунок 1а — Обзорная ледовая карта СЛО за 22.12.2014-30.12.2014 г. на основе ледового анализа ААНИИ (30.12), Национального ледового центра США (Берингово море, 25.12), Канадской ледовой службы (22.12), положение метеорологический дрейфующих буев IABP и Argos на 30.12.2014T1200+00 и повторяемость кромки за 26-31.12 за период 1978-2012 гг. по наблюдениям SSMR-SSM/I-SSMIS (алгоритм NASATEAM).

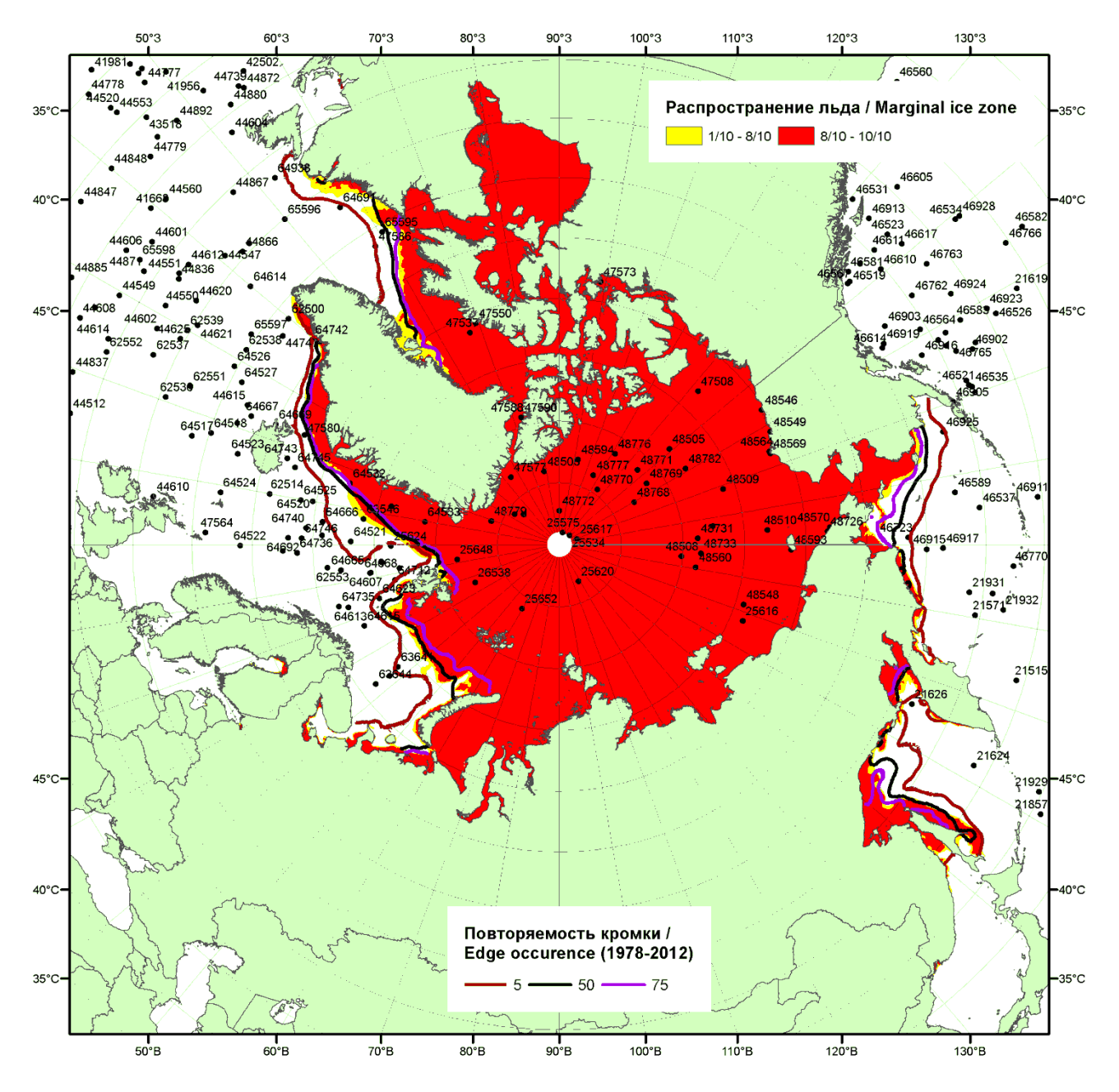


Рисунок 16 – Положение кромки льда и зон разреженных (<8/10) и сплоченных (≥8/10) льдов СЛО за 29.12.2014 г. на основе ледового анализа Национального Ледового Центра США, положение метеорологический дрейфующих буев IABP и Argos на 30.12.2014T1200+00 и повторяемость кромки за 26-31.12 за период 1979-2012 гг. по наблюдениям SSMR-SSM/I-SSMIS (алгоритм NASATEAM)

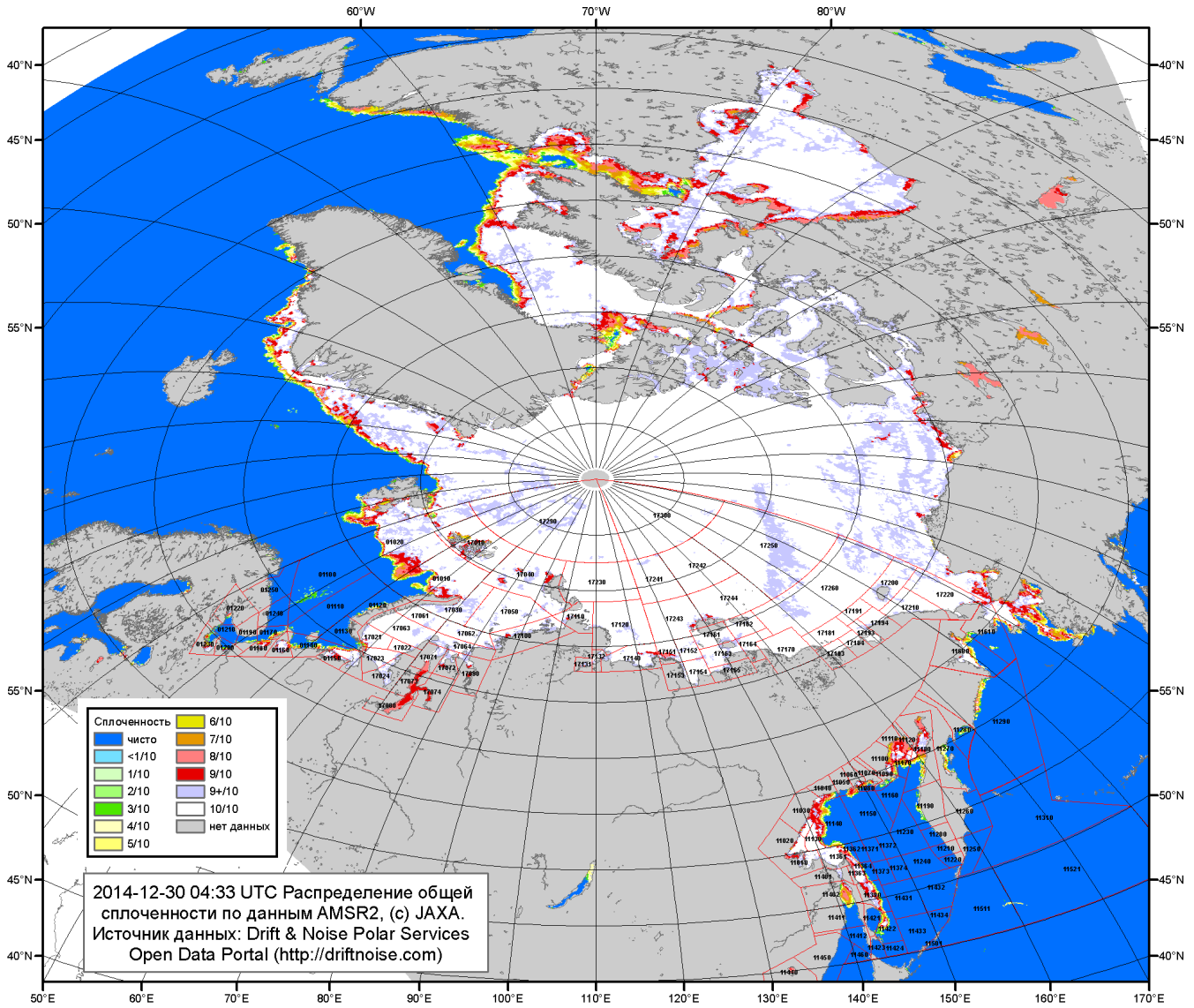


Рисунок 2a — Общая сплоченность морского льда СЛО и субарктических морей по данным AMSR2 на 30.12.2014 04:33UTC и границы районов ГМССБ МЕТЗОН XIII, XX и XXI.

2014-12-30 04:33 UTC Распределение общей сплоченности по данным AMSR2, (c) JAXA Источник данных: Drift & Noise Polar Services Open Data Portal (http://driftnoise.com)

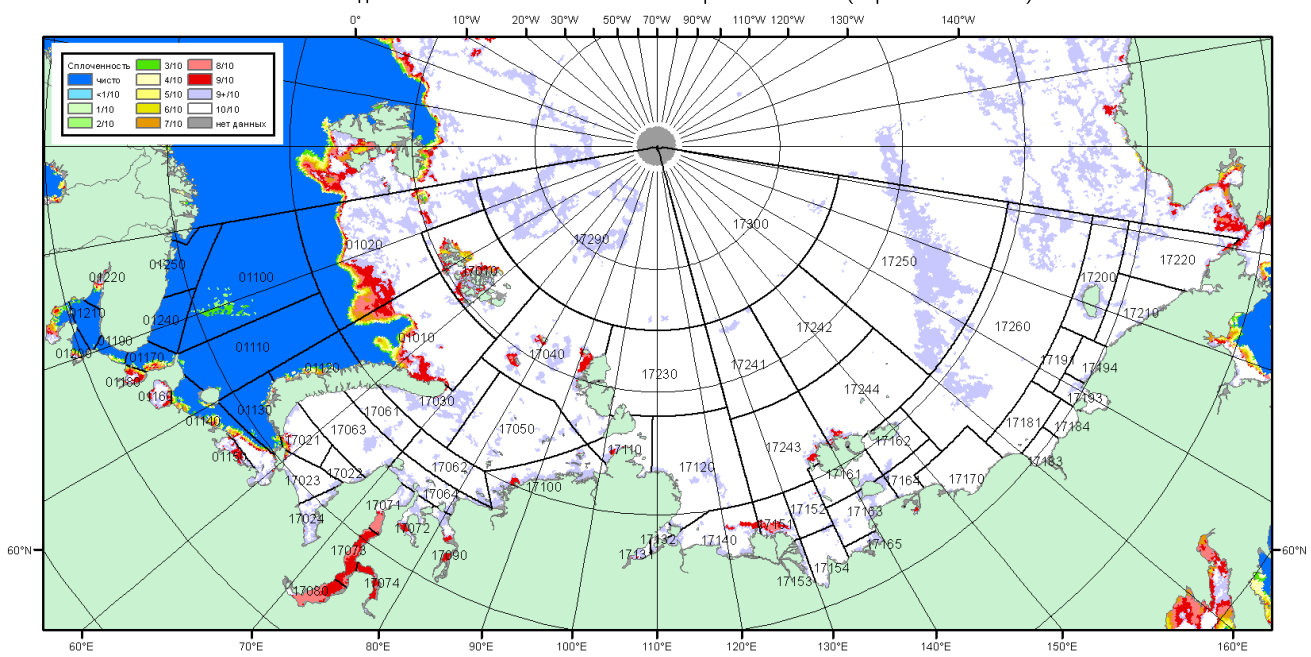


Рисунок 2б — Общая сплоченность морского льда морей СМП по данным AMSR2 на 30.12.2014 04:33UTC и границы районов ГМССБ МЕТЗОН XX и XXI.

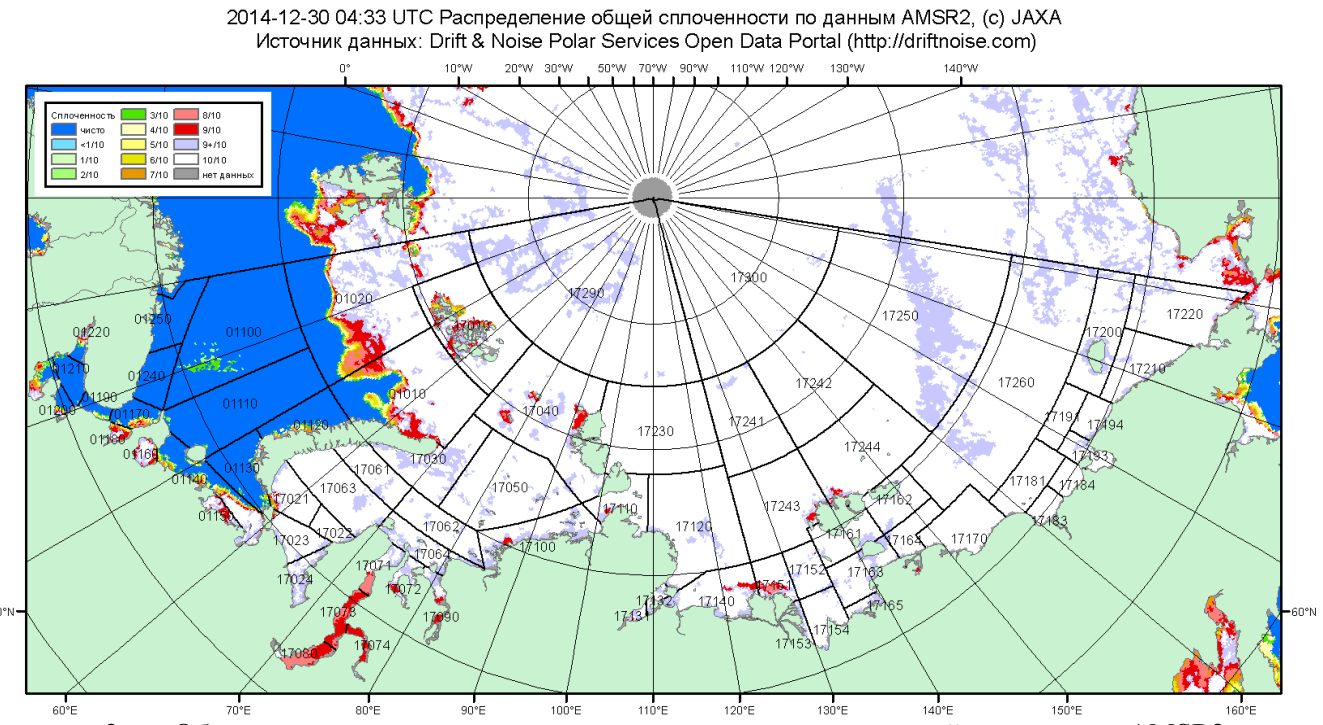


Рисунок 2в — Общая сплоченность морского льда дальневосточных морей по данным AMSR2 на 30.12.2014 04:33UTC и границы районов ГМССБ МЕТЗОНЫ XIII.

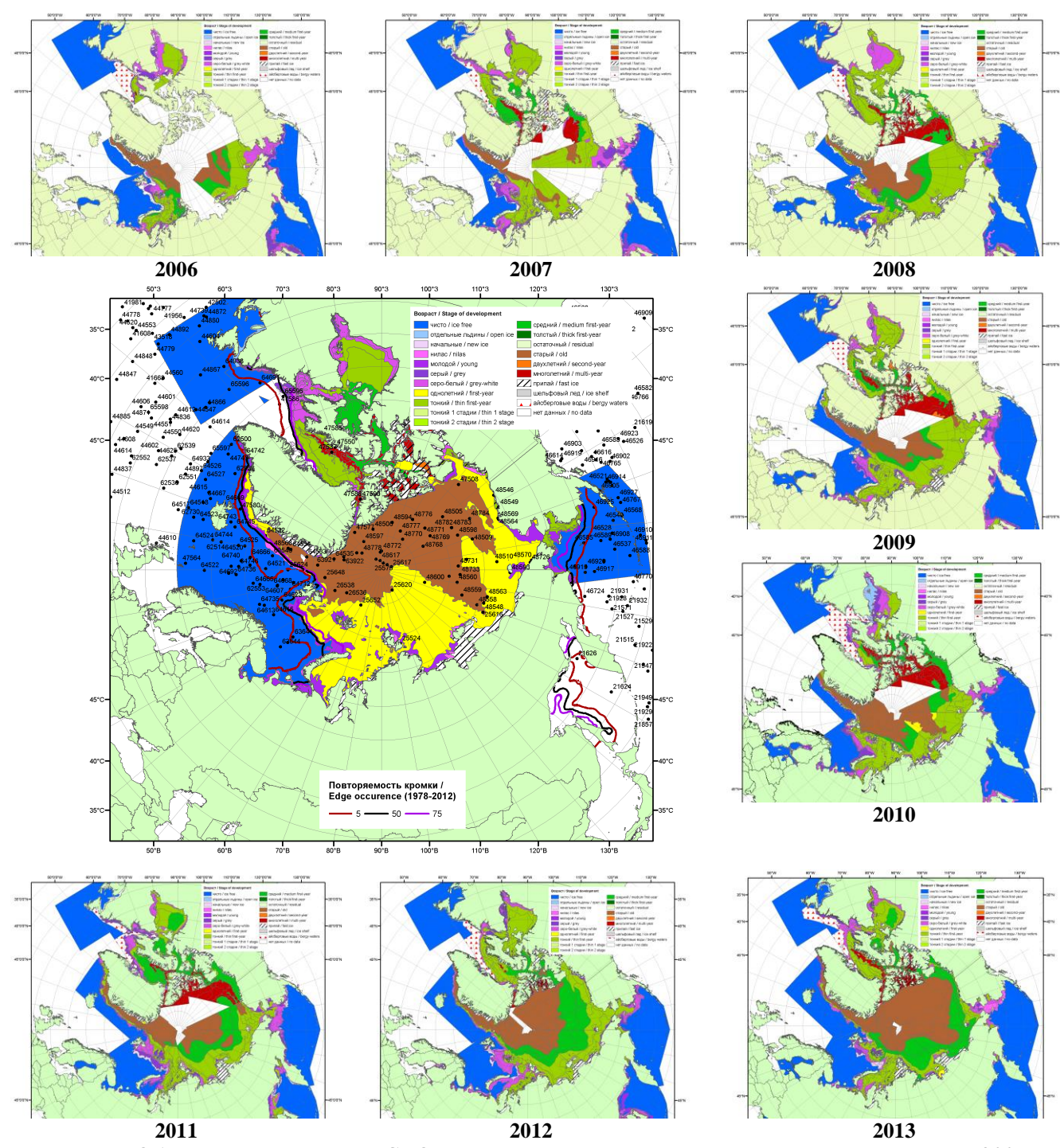


Рисунок 3 — Обзорная ледовая карта СЛО за 22.12.2014 - 30.12.2014 г. и аналогичные периоды 2006-2013 гг. на основе ледового анализа ААНИИ, Канадской ледовой службы и Национального ледового центра США.

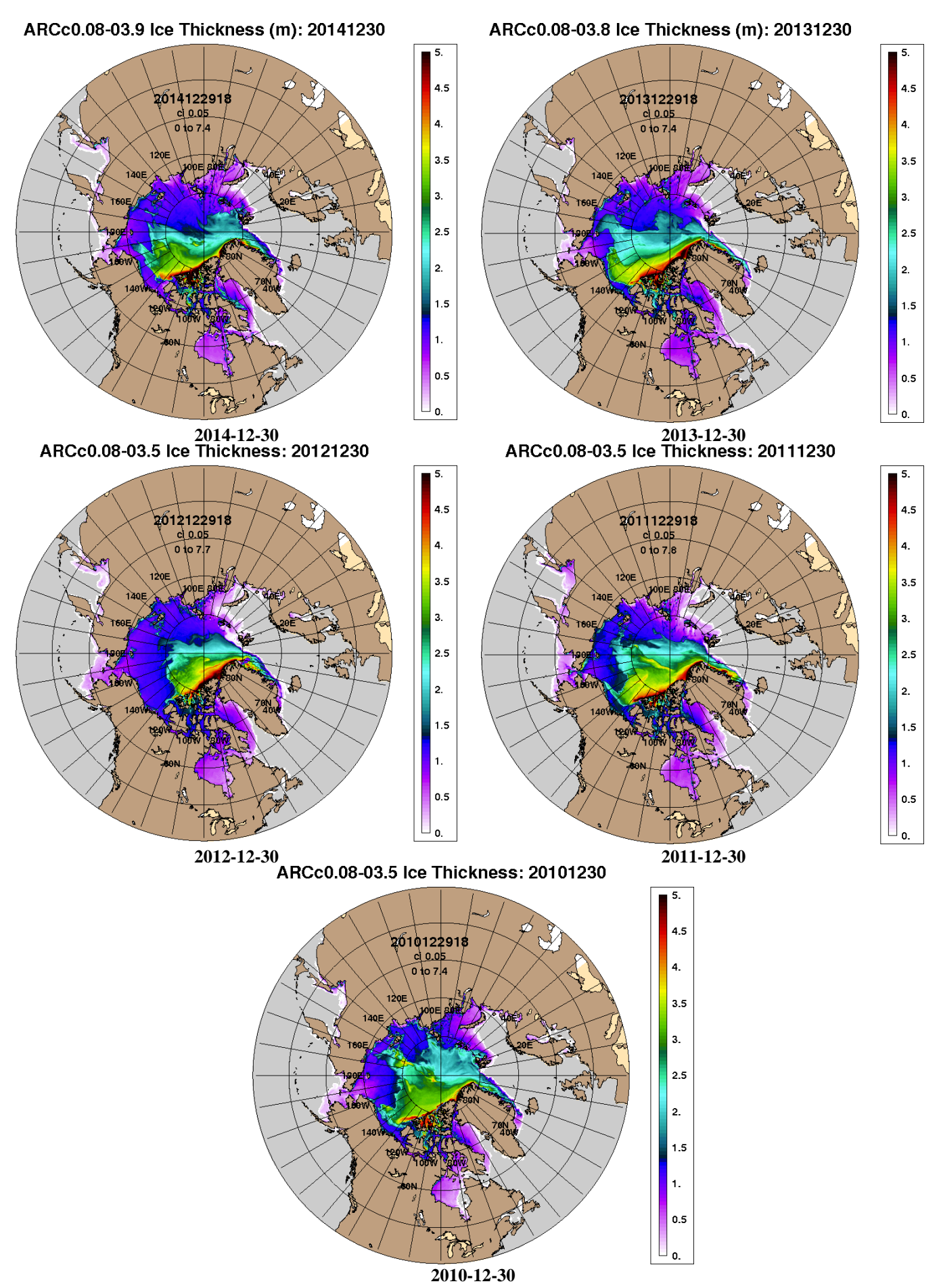


Рисунок 4 — Поля распределения средневзвешенной толщины льда на основе совместной модели морского льда — океана ACNFS (HYCOM/NCODA/CICE) 30 декабря 2014 - 2010 гг.

Таблица 1 — Динамика изменения значений ледовитости по сравнению с предыдущей неделей для морей Северной полярной области за 22 — 28 декабря 2014 г. по данным наблюдений SSMR-SSM/I-SSMIS-AMSR2

Регион	Северная полярная	Сектор 45°W- 95°E	Сектор 95°Е- 170°W	Сектор 170°W- 45°W	Моря СМП
	область	00 2			
Разность	389.1	179.0	84.2	126.0	30.2
тыс.кв.км/	55.6	25.6	12.0	18.0	4.3
сут.					

Таблица 2 - Медианные значения ледовитости для Северной полярной области ,3-х меридиональных секторов и моря СМП за текущие 30 и 7-дневные интервалы и её аномалии от 2009-2013 гг. и интервалов 2004-2014 гг. и 1978-2014 гг. по данным наблюдений SSMR-SSM/I-SSMIS-AMSR2, алгоритмы NASATEAM/BOOTSTRAP

_		_
Северная	TOTTOTAL	ONDOCTL
ССВСИПАЯ	полярпая	UUJIALIB

Мооди	S, тыс.	Аномалии, тыс км²/%						
Месяц	км ²	2009 г	2010 г	2011 г	2012 г	2013 г	2004-2014гг	1978-2014гг
20 44 20 42	12220.0	109.5	461.0	243.8	450.2	164.1	165.1	-548.3
29.11-28.12	12220.8	0.9	3.9	2.0	3.8	1.4	1.4	-4.3
22-28.12 12894.2	12904.2	34.4	476.2	153.9	392.8	293.5	131.6	-548.6
	12894.2	0.3	3.8	1.2	3.1	2.3	1.0	-4.1

Сектор 45°W-95°E (Гренландское - Карское моря)

Месяц	S, тыс.		Аномалии, тыс км²/%					
Месяц	KM ²	2009 г	2010 г	2011 г	2012 г	2013 г	2004-2014гг	1978-2014гг
20 11 29 4	29.11-28.12 2955.1	209.2	-193.2	374.8	499.1	89.2	146.7	-231.3
29.11-20.	12 2900.1	7.6	-6.1	14.5	20.3	3.1	5.2	-7.3
22-28.12	-28.12 3080.3	83.1	-266.3	468.9	403.9	201.3	172.0	-243.3
22-20.12	3000.3	2.8	-8.0	18.0	15.1	7.0	5.9	-7.3

Сектор 95°E-170°W (моря Лаптевых - Чукотское, Берингово, Охотское)

Moogu	S, тыс.	Аномалии, тыс км ² /%						
Месяц	км ²	2009 г	2010 г	2011 г	2012 г	2013 г	2004-2014гг	1978-2014гг
29.11-28.12	3597.6	-238.6	-6.6	-291.2	-63.8	72.1	-97.8	-226.5
		-6.2	-0.2	-7.5	-1.7	2.0	-2.6	-5.9
22-28.12 3869.2	2060.2	-153.0	163.3	-323.7	-2.2	218.1	-61.7	-199.8
	3869.2	-3.8	4.4	-7.7	-0.1	6.0	-1.6	-4.9

Сектор 170°W-45°W (море Бофорта и Канадская Арктика)

Месяц	S, тыс.	Аномалии, тыс км²/%						
МЕСЯЦ	KM ²	2009 г	2010 г	2011 г	2012 г	2013 г	2004-2014гг	1978-2014гг
29.11-28.12	20.44.20.42	138.8	660.7	160.2	14.7	2.8	116.1	-90.6
29.11-20.12	5668.1	2.5	13.2	2.9	0.3	0.0	2.1	-1.6
22-28.12	E044 6	104.3	579.2	8.7	-9.0	-125.9	21.4	-105.6
22-20.12	5944.6	1.8	10.8	0.1	-0.2	-2.1	0.4	-1.7

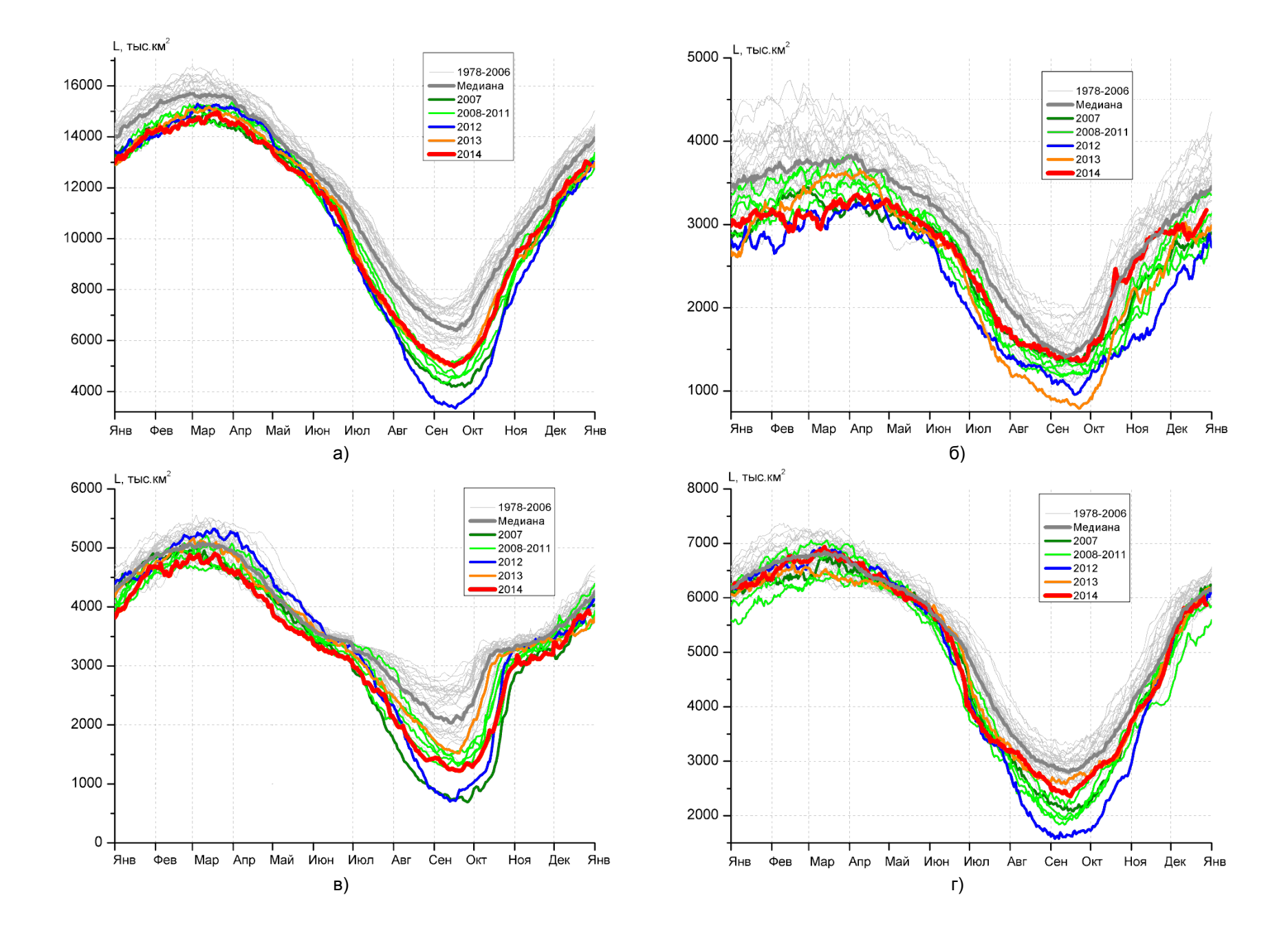
Моря СМП (моря Карское-Чукотское)

Месяц	S, тыс.	Аномалии, тыс км ² /%						
месяц	KM ²	2009 г	2010 г	2011 г	2012 г	2013 г	2004-2014гг	1978-2014гг
29.11-28.12	29.11-28.12 2920.9	-75.6	-53.8	133.3	165.7	-12.4	18.5	-54.9
29.11-20.12	2920.9	-2.5	-1.8	4.8	6.0	-0.4	0.6	-1.8
00 00 40 0005 0	3025.9	0.0	0.0	204.9	200.1	5.2	58.7	20.2
22-28.12	3023.9	0.0	0.0	7.3	7.1	0.2	2.0	0.7

Таблица 3 — Экстремальные и средние значения ледовитости для Северной полярной области, 3 меридиональных секторов и моря СМП за текущий 7-дневный интервал по данным наблюдений SSMR-SSM/I-SSMIS-AMSR2, алгоритмы NASATEAM/BOOTSTRAP

Северная полярная область

Месяц	Минимальное знач.	Максимальное знач.	Среднее знач.	Медиана					
22-28.12	12267.5 22.12.2012	14633.8 28.12.1978	13442.8	13527.4					
Сектор 45°W-95°E (Гренландское - Карское моря)									
Месяц	Минимальное знач.	Максимальное знач.	Среднее знач.	Медиана					
22-28.12	2531.2 26.12.2011	4115.0 28.12.1978	3323.6	3352.6					
	Сектор 95°E-170°W (мо	ря Лаптевых - Чукотско	е, Берингово, Охотско	oe)					
Месяц	Минимальное знач.	Максимальное знач.	Среднее знач.	Медиана					
22-28.12	3597.9 23.12.2013	4603.8 28.12.1978	4069.1	4057.1					
	Сектор 170°W-45	5°W (море Бофорта и Ка	надская Арктика)						
Месяц	Минимальное знач.	Максимальное знач.	Среднее знач.	Медиана					
22-28.12	5284.8 23.12.2010	6422.7 28.12.1982	6050.2	6055.9					
	Моря (СМП (моря Карское-Чук	отское)						
Месяц	Минимальное знач.	Максимальное знач.	Среднее знач.	Медиана					
22-28.12	2771.2 24.12.2012	3025.9 22.12.1978	3005.7	3025.9					



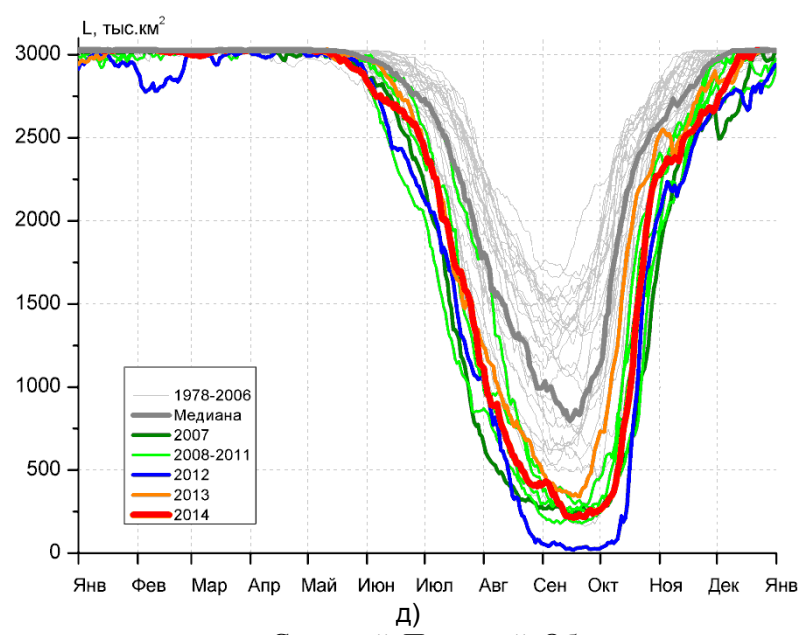


Рисунок 5 — Ежедневные оценки сезонного хода ледовитости для Северной Полярной Области и трех меридиональных секторов за период 26.10.1978 - 28.12.2014 по годам на основе расчетов по данным SSMR-SSM/I-SSMIS-AMSR2, алгоритмы NASATEAM/BOOTSTRAP: а) Северная полярная область, б) сектор 45°W-95°E (Гренландское — Карское моря), в) сектор 95°E-170°W (моря Лаптевых — Чукотское и Берингово, Охотское), г) сектор 170°W-45°W (море Бофорта и Канадская Арктика), д) Северный морской путь (Карское - Чукотское моря).

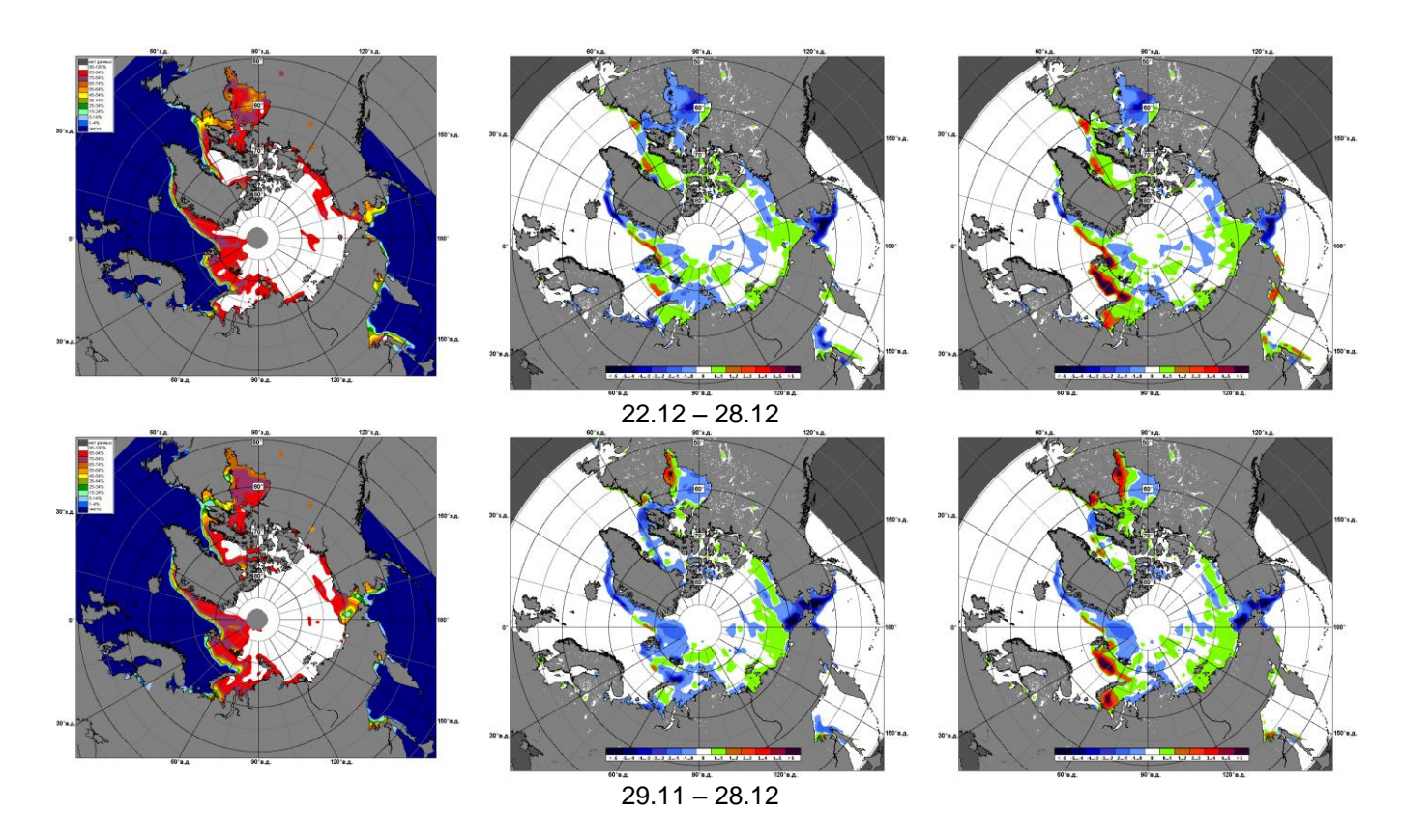


Рисунок 6 — Медианные распределения сплоченности льда за текущие 7 и 30-дневные промежутки и её разности относительно медианного распределения за те же месяца за периоды 1979-2014 (центр) и 2004-2014 гг. (справа) на основе расчетов по данным SSMR-SSM/I-SSMIS-AMSR2, алгоритмы NASATEAM/BOOTSTRAP.

Южный океан

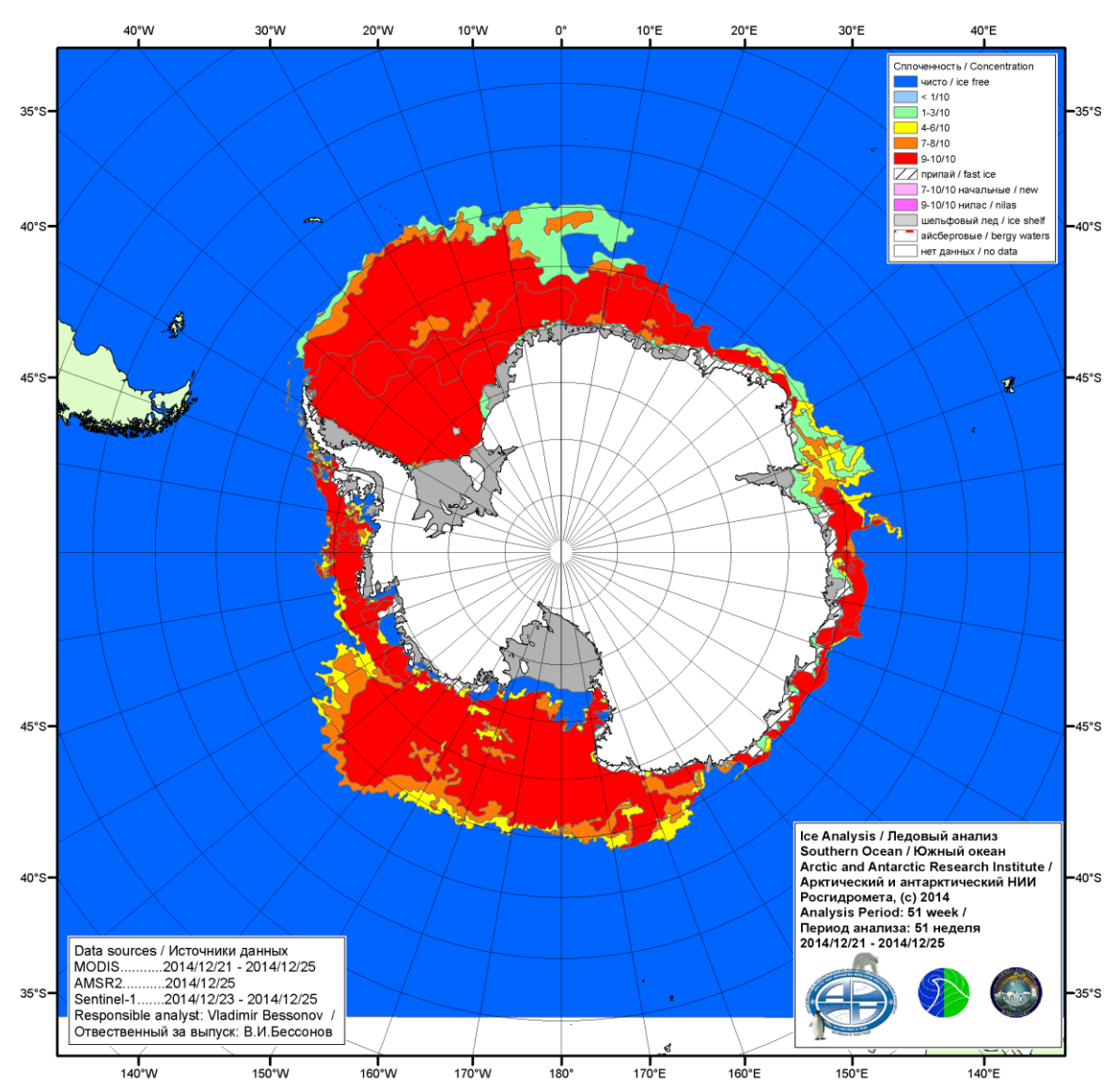


Рисунок 7а – Ледовая карта НЛЦ США Южного океана за 25.12.2014.

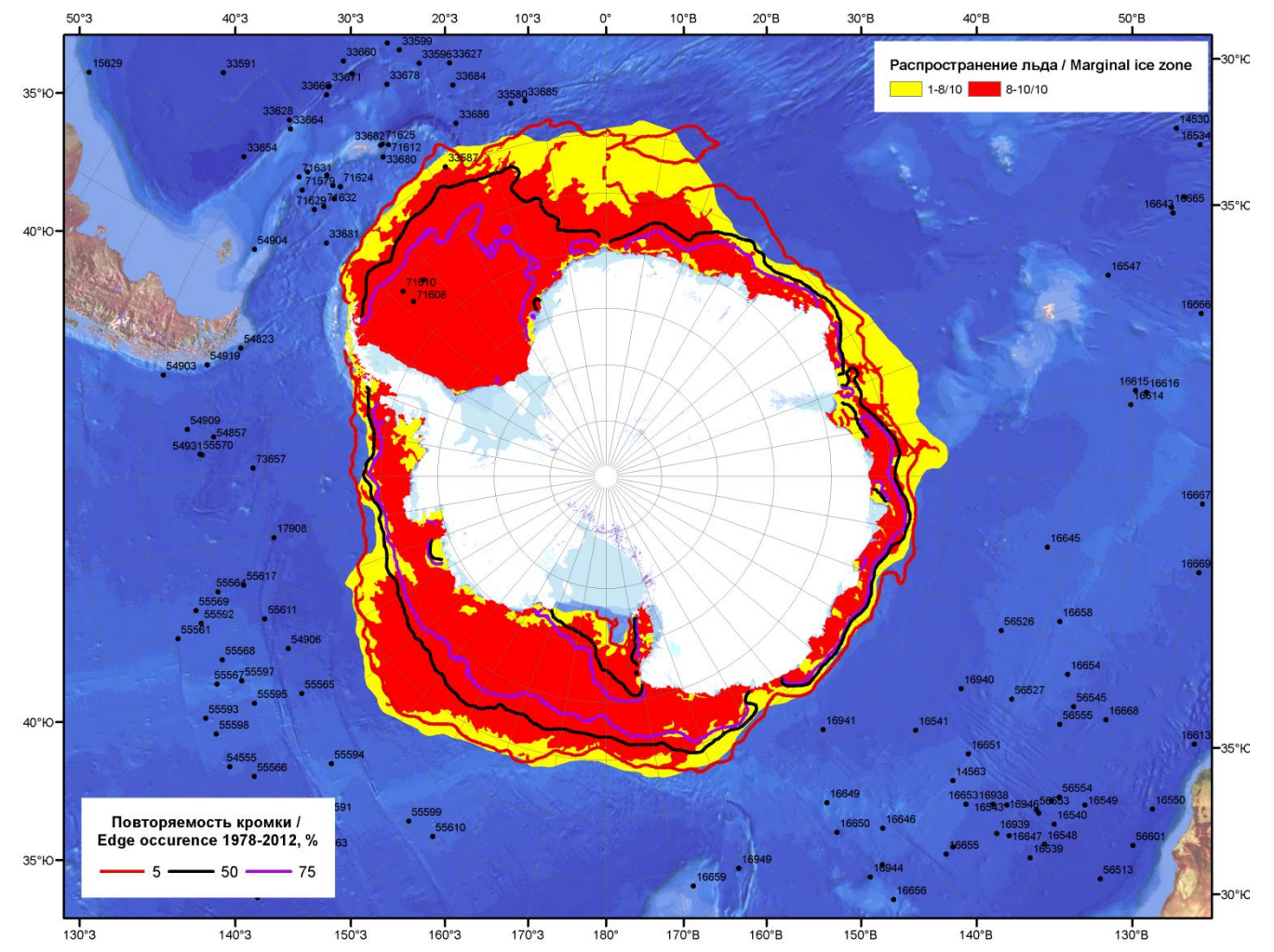


Рисунок 7б – Положение кромки льда и зон разреженных (<8/10) и сплоченных (≥8/10) льдов Южного океана за 29.12.2014 г. на основе ледового анализа Национального Ледового Центра США, положение метеорологический дрейфующих буев IABP и Argos на 30.12.2014T1200+00 и повторяемость кромки за 26-31.12 за период 1979-2012 гг. по наблюдениям SSMR-SSM/I-SSMIS (алгоритм NASATEAM)

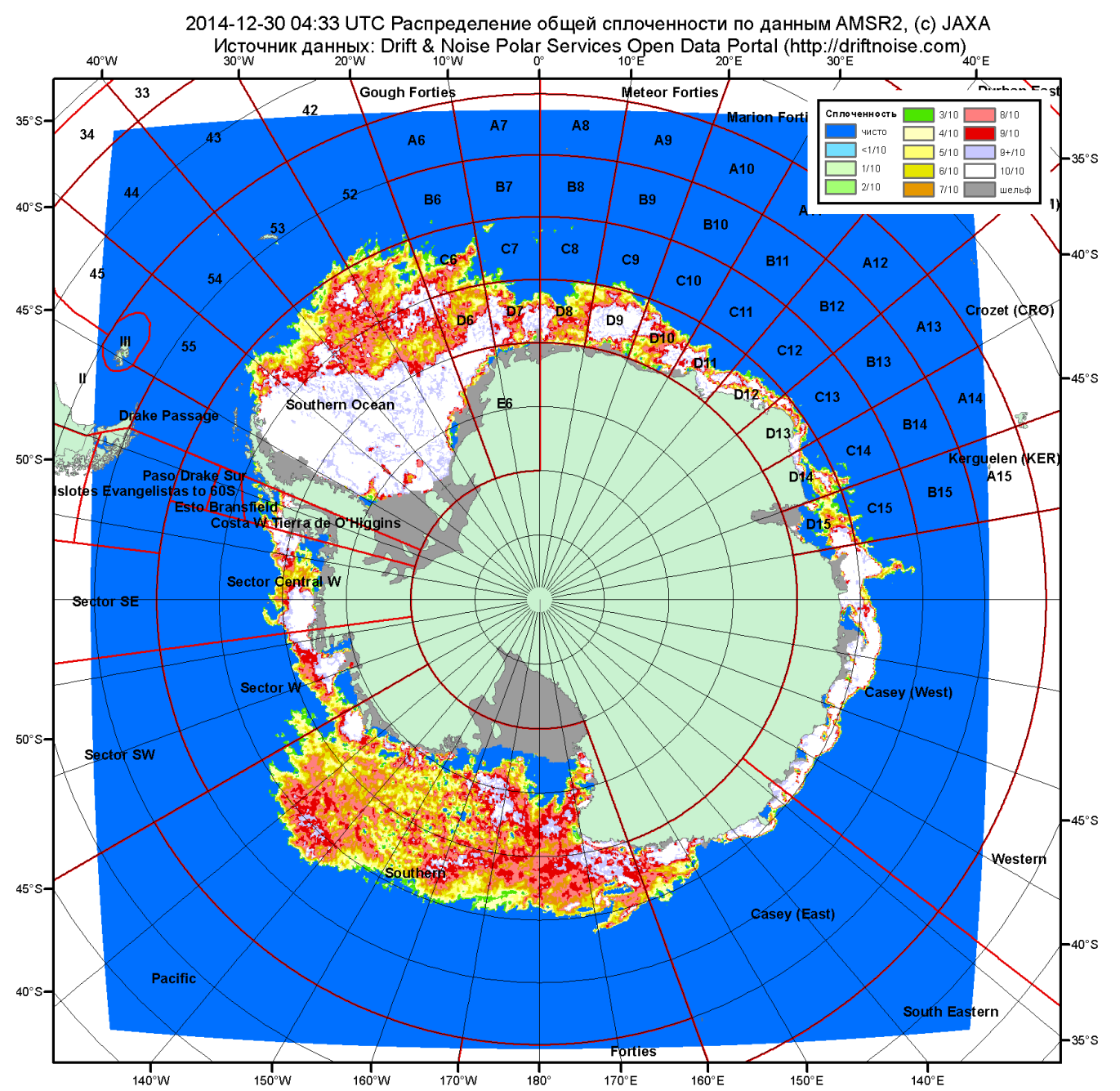


Рисунок 7в — Общая сплоченность морского льда Южного океана по данным AMSR2 на 30.12.2014 04:33UTC и границы районов ГМССБ МЕТЗОН VI, VII, X, XIV и XV.

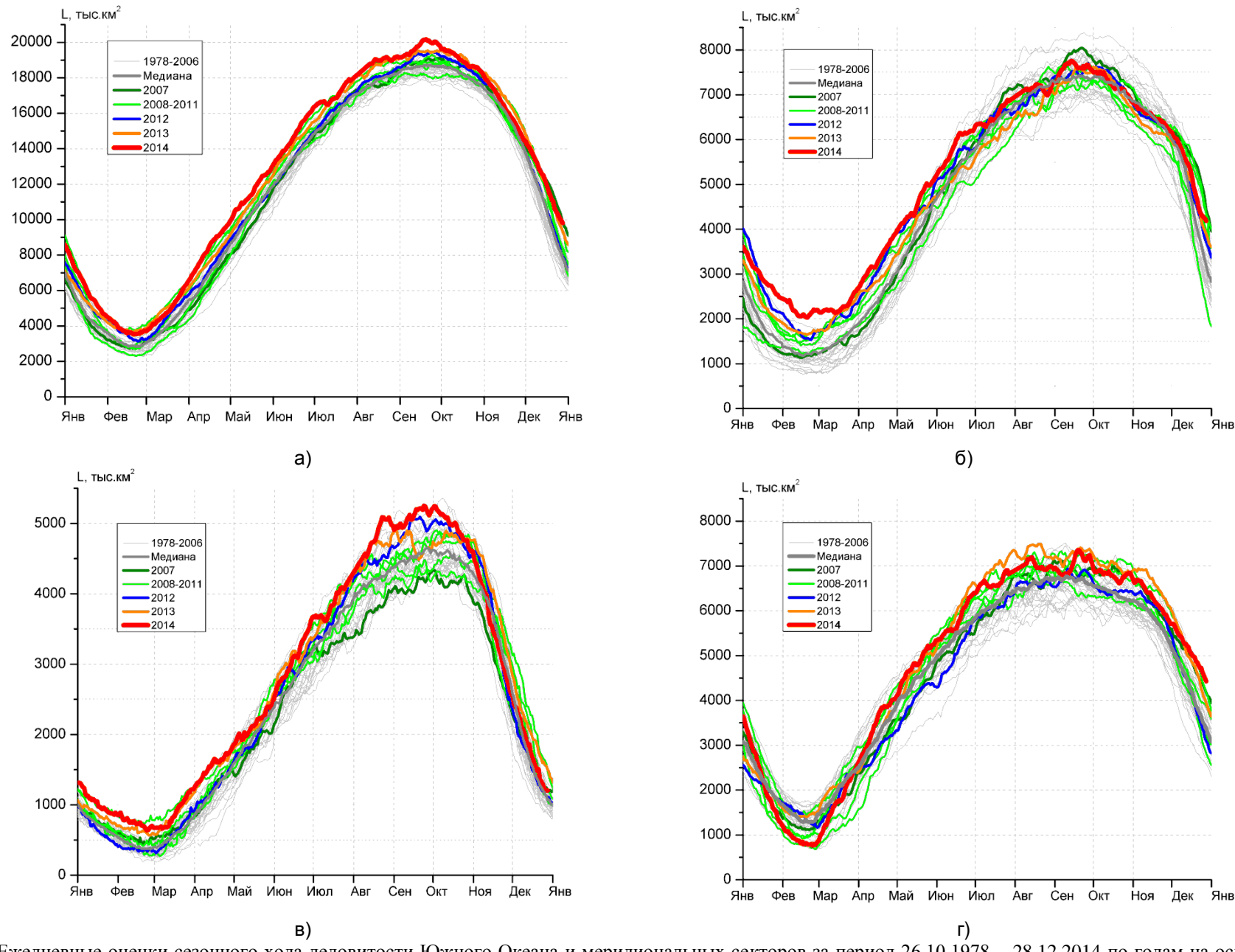


Рисунок 8 — Ежедневные оценки сезонного хода ледовитости Южного Океана и меридиональных секторов за период 26.10.1978 — 28.12.2014 по годам на основе расчетов по данным SSMR-SSM/I-SSMIS-AMSR2, алгоритм NASATEAM/BOOTSTRAP: а) Южный Океан, б) Атлантический сектор (60°W-30°E, море Уэдделла), в) Индоокеанский сектор (30°E-150°E, моря Космонавтов, Содружества, Моусона), г) Тихоокеанский сектор (150°E-60°W, моря Росса, Беллинсгаузена)

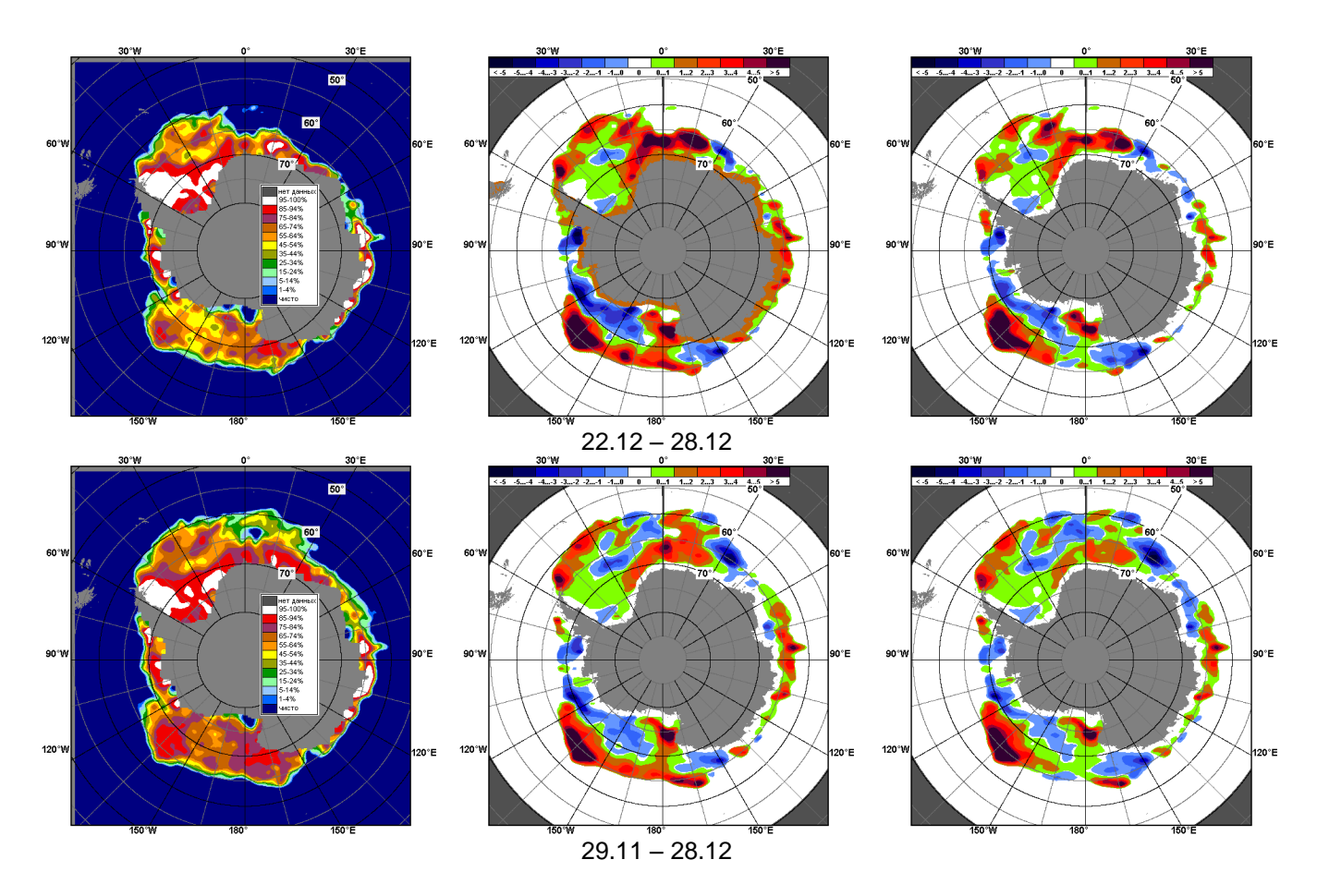


Рисунок 9 — Медианные распределения общей сплоченности льда за текущие 7 и 30-дневные промежутки (слева) и её разности относительно медианного распределения за тот же месяц за периоды 1978-2014 (центр) и 2004-2014 гг. (справа) на основе расчетов по данным SSMR-SSM/I-SSMIS-AMSR2, алгоритм NASATEAM/BOOTSTRAP

Таблица 4 — Динамика изменения значений ледовитости по сравнению с предыдущей неделей для морей Южного океана за 22 — 28 декабря 2014 г. по данным наблюдений SSMR-SSM/I-SSMIS

Регион	Южный Океан	Атлантический	Индоокеанский	Тихоокеанский
		сектор	сектор	сектор
Разность	-1372.7	-689.6	-326.5	-356.6
тыс.кв.км/	-196.1	-98.5	-46.6	-50.9
сут.				

Таблица 5 - Медианные значения ледовитости для Южного океана и 3 меридиональных секторов за текущие 30 и 7-дневные интервалы и её аномалии от 2009-2013 гг. и интервалов 2004-2014 гг. и 1978-2014 гг. по данным наблюдений SSMR-SSM/I-SSMIS-AMSR2, алгоритм NASATEAM/BOOTSTRAP

		_	$\overline{}$	
u	MALLE	114	1	кеан
10.7	мпр	IVI	.,	лсап

TOTALIZATI OTTOGRA								
Месяц	S, тыс.	Аномалии, тыс км ² /%						
месяц	км ²	2009 г	2010 г	2011 г	2012 г	2013 г	2004-2014гг	1978-2014гг
29.11-28.12	12324.8	1061.1	359.9	619.4	1195.0	-29.9	761.1	1237.2
		9.4	3.0	5.3	10.7	-0.2	6.6	11.2
22-28.12	10205.8	1207.2	1333.6	1189.4	1627.6	260.5	1167.5	1696.5
		13.4	15.0	13.2	19.0	2.6	12.9	19.9

Атлантический сектор (60°W-30°E, море Уэдделла)

	Месяц	S, тыс.	Аномалии, тыс км²/%								
	месяц	KM ²	2009 г	2010 г	2011 г	2012 г	2013 г	2004-2014гг	1978-2014гг		
	29.11-28.12	5306.2	404.3	949.6	-262.6	211.0	166.2	217.3	425.5		
			8.2	21.8	-4.7	4.1	3.2	4.3	8.7		
	22-28.12	4312.8	53.6	1578.7	-383.7	283.8	168.1	359.1	671.4		
			1.3	57.7	-8.2	7.0	4.1	9.1	18.4		

Индоокеанский сектор (30°E-150°E, моря Космонавтов, Содружества, Моусона)

Месяц	Ѕ, тыс.	Аномалии, тыс км ² /%								
месяц	KM ²	2009 г	2010 г	2011 г	2012 г	2013 г	2004-2014гг	1978-2014гг		
20 11 20 12 1054 4	10511	-276.3	-541.4	72.7	164.1	-284.8	-52.9	70.2		
29.11-20.12	9.11-28.12 1854.4	-13.0	-22.6	4.1	9.7	-13.3	-2.8	3.9		
22 20 42	1272.4	-48.1	-390.4	68.9	88.2	-325.4	-13.0	72.8		
22-28.12		-3.6	-23.5	5.7	7.4	-20.4	-1.0	6.1		

Тихоокеанский сектор (150°E-60°W, моря Росса, Беллинсгаузена)

Мооди	S, тыс.	Аномалии, тыс км²/%									
Месяц	KM ²	2009 г	2010 г	2011 г	2012 г	2013 г	2004-2014гг	1978-2014гг			
29.11-28.12 5	5164.1	933.1	-48.3	809.3	819.9	88.8	596.6	741.6			
29.11-20.12	5164.1	22.1	-0.9	18.6	18.9	1.7	13.1	16.8			
22 29 12	12 4620.6	1201.7	145.4	1504.3	1255.7	417.8	821.4	952.4			
22-28.12		35.1	3.2	48.3	37.3	9.9	21.6	26.0			

Таблица 6 — Экстремальные и средние значения ледовитости для Южного океана и 3 меридиональных секторов за текущий 7-дневный интервал по данным наблюдений SSMR-SSM/I-SSMIS-AMSR2, алгоритм NASATEAM/BOOTSTRAP

Южный Океан

месяц	минимальное знач.	максимальное знач.	Среднее знач.	медиана
22-28.12	6422.5	11225.0	8509.3	8425.2
	28.12.1979	22.12.2007	6509.5	0425.2
	Атлантически	й сектор (60°W-30°E, мо	оре Уэдделла)	
Месяц	Минимальное знач.	Максимальное знач.	Среднее знач.	Медиана

22-28.12 2321.5 5293.6 3641.5 3546.6

Индоокеанский сектор (30°E-150°E, моря Космонавтов, Содружества, Моусона)

Месяц	Минимальное знач.	Максимальное знач.	Среднее знач.	Медиана				
22-28.12	867.6 28.12.1982	1777.8 22.12.2010	1199.6	1190.9				
Тихоокеанский сектор (150°E-60°W, моря Росса, Беллинсгаузена)								

Месяц	Минимальное знач.	Максимальное знач.	Среднее знач.	Медиана
22-28.12	2583.7 28.12.1979	4789.4 22.12.2014	3668.2	3625.2

Приложение 1 – Статистические значения ледовитостей по отдельным акваториям Северной Полярной Области и Южного океана

Таблица 7 – Средние, аномалии среднего и экстремальные значения ледовитостей для Северной полярной области и её отдельных акваторий за текущие 7-дневный (неделя) и 30-дневный промежутки времени по данным наблюдений SSMR-SSM/I-SSMIS-AMSR2, алгоритм NASATEAM/BOOTSTRAP за период 1978-2014 гг.

22-28.12

	C =1.10		Аномалии, тыс км²/%					1978-20)14гг			
Регион	S, тыс. км²	2009 г	2010 г	2011 г	2012 г	2013 г	2004-	1978-	Минимум	Максимум	Среднее	Медиана
	KIVI						2014гг	2014гг	дата	дата	Среднее	медиана
Сев. полярная	12894.2	34.4	476.2	153.9	392.8	293.5	131.6	-548.6	12267.5	14633.8	13442.8	13527.4
область	12094.2	0.3	3.8	1.2	3.1	2.3	1.0	-4.1	22.12.2012	28.12.1978	13442.0	13327.4
Сектор 45°W-	3080.3	83.1	-266.3	468.9	403.9	201.3	172.0	-243.3	2531.2	4115.0	3323.6	3352.6
95°E	3000.3	2.8	-8.0	18.0	15.1	7.0	5.9	-7.3	26.12.2011	28.12.1978	3323.0	3332.0
Гренландское	618.7	27.6	8.0	-14.2	-24.3	-0.6	-7.8	-117.8	504.9	1074.8	736.5	683.3
море	010.7	4.7	0.1	-2.2	-3.8	-0.1	-1.2	-16.0	28.12.2002	25.12.1988	730.3	003.3
Баренцево море	pe 552.1	88.7	-79.7	268.8	256.2	191.7	139.1	-66.5	242.3	974.9	618.5	637.9
варенцево море	552.1	19.1	-12.6	94.9	86.6	53.2	33.7	-10.7	27.12.2011	28.12.1978	010.5	037.9
Vanavaa Mana	839.2	0.0	0.0	204.9	200.1	5.2	58.7	19.9	584.4	839.2	819.3	839.2
Карское море	839.2	0.0	0.0	32.3	31.3	0.6	7.5	2.4	24.12.2012	22.12.1978	019.3	039.2
Сектор 95°Е-	3869.2	-153.0	163.3	-323.7	-2.2	218.1	-61.7	-199.8	3597.9	4603.8	4069.1	4057.1
170°W	3009.2	-3.8	4.4	-7.7	-0.1	6.0	-1.6	-4.9	23.12.2013	28.12.1978	4009.1	4037.1
Моро Попторых	674.3	0.0	0.0	0.0	0.0	0.0	0.0	0.0	673.6	674.3	674.3	674.3
Море Лаптевых	674.3	0.0	0.0	0.0	0.0	0.0	0.0	0.0	22.12.2003	22.12.1978	074.3	074.3
Восточно-	915.1	0.0	0.0	0.0	0.0	0.0	0.0	0.0	915.1	915.1	915.1	915.1
Сибирское море	915.1	0.0	0.0	0.0	0.0	0.0	0.0	0.0	22.12.1978	22.12.1978	915.1	915.1
Ulwatakaa Mana	597.3	0.0	0.0	0.0	0.0	0.0	0.0	0.3	580.2	597.3	597.0	597.3
Чукотское море		0.0	0.0	0.0	0.0	0.0	0.0	0.0	22.12.2002	22.12.1978		597.5
Горингоро моро	289.9	-174.4	0.1	-235.3	-217.9	-22.2	-123.0	-146.7	137.7	783.9	436.6	432.5
Берингово море	209.9	-37.6	0.0	-44.8	-42.9	-7.1	-29.8	-33.6	25.12.1983	26.12.1999	430.0	432.5
Сектор 170°W-	5044 C	104.3	579.2	8.7	-9.0	-125.9	21.4	-105.6	5284.8	6422.7	0050.0	0055.0
45°W	5944.6	1.8	10.8	0.1	-0.2	-2.1	0.4	-1.7	23.12.2010	28.12.1982	6050.2	6055.9
Mana Fadanza	400.0	0.0	0.0	0.0	0.0	0.0	0.0	0.0	485.9	486.6	400.0	400.0
Море Бофорта	486.6	0.0	0.0	0.0	0.0	0.0	0.0	0.0	22.12.1993	22.12.1978	486.6	486.6
	020.0	1.5	224.2	0.0	12.8	0.1	23.5	18.5	544.6	839.0	000.5	020.0
Гудзонов залив	839.0	0.2	36.5	0.0	1.6	0.0	2.9	2.2	22.12.2010	22.12.1978	820.5	839.0
Мана Пабилана	04.0	58.4	48.1	30.8	51.3	-47.6	19.0	-22.2	1.5	321.7	07.4	CO F
Море Лабрадор	64.9	905.1	286.6	90.2	377.7	-42.3	41.5	-25.4	22.12.2003	28.12.1984	87.1	69.5
Пахана	0.40.0	55.6	181.0	-16.9	47.4	-27.0	22.8	-19.1	161.4	588.8	207.2	004.0
Дейвисов пролив	348.2	19.0	108.2	-4.6	15.7	-7.2	7.0	-5.2	22.12.2010	24.12.1984	367.3	361.3
Канадский	1100 7	21.5	184.6	40.6	6.9	-3.4	24.2	5.9	991.8	1190.1	4400.7	1100 1
архипелаг	1186.7	1.8	18.4	3.5	0.6	-0.3	2.1	0.5	22.12.2010	22.12.1978	1180.7	1190.1

29.11-28.12

	C		Аномалии, тыс км ² /%					1978-20)14гг			
Регион	S, тыс. км²	2009 г	2010 г	2011 г	2012 г	2013 г	2004-	1978-	Минимум	Максимум	Среднее	Медиана
	KIVI						2014гг	2014гг	дата	дата	Среднее	Медиана
Сев. полярная	12220.8	109.5	461.0	243.8	450.2	164.1	165.1	-548.3	10183.5	14633.8	12769.1	12810.9
область	12220.0	0.9	3.9	2.0	3.8	1.4	1.4	-4.3	29.11.2006	28.12.1978	12709.1	12010.9
Сектор 45°W-	2955.1	209.2	-193.2	374.8	499.1	89.2	146.7	-231.3	2186.4	4115.0	3186.3	3197.3
95°E	2933.1	7.6	-6.1	14.5	20.3	3.1	5.2	-7.3	29.11.2012	28.12.1978	3100.3	3197.3
Гренландское	585.0	5.3	-45.2	-35.7	-23.7	-71.3	-26.7	-115.8	464.7	1074.8	700.8	660.0
море	303.0	0.9	-7.2	-5.8	-3.9	-10.9	-4.4	-16.5	07.12.2002	25.12.1988	700.0	000.0
Баренцево море	474.7	154.9	-54.9	186.3	243.2	134.3	107.9	-86.7	116.2	974.9	561.4	588.8
варенцево море	474.7	48.4	-10.4	64.6	105.1	39.5	29.4	-15.4	29.11.2009	28.12.1978	301.4	300.0
Карское море	828.2	18.5	9.1	226.5	259.7	29.8	68.0	22.7	475.7	839.2	805.6	839.2
карское море	020.2	2.3	1.1	37.6	45.7	3.7	8.9	2.8	29.11.2012	29.11.1978	000.0	009.2
Сектор 95°Е-	3597.6	-238.6	-6.6	-291.2	-63.8	72.1	-97.8	-226.5	3120.3	4603.8	3824.1	3809.2
170°W	3337.0	-6.2	-0.2	-7.5	-1.7	2.0	-2.6	-5.9	02.12.2007	28.12.1978	3024.1	3009.2
Море Лаптевых	674.3	0.0	0.0	0.0	0.0	0.0	0.0	0.0	673.0	674.3	674.3	674.3
тиоре лаптевых	074.5	0.0	0.0	0.0	0.0	0.0	0.0	0.0	09.12.1991	29.11.1978	074.5	074.5
Восточно-	911.5	-3.6	-3.6	-3.6	-3.6	-3.6	-1.8	-3.0	838.4	915.1	914.6	915.1
Сибирское море		-0.4	-0.4	-0.4	-0.4	-0.4	-0.2	-0.3	03.12.2007	29.11.1978	314.0	J 10.1
Чукотское море	506.8	-90.5	-59.3	-89.6	-90.4	-38.7	-47.7	-74.6	225.9	597.3	581.4	597.3
-тукотское море	300.0	-15.2	-10.5	-15.0	-15.1	-7.1	-8.6	-12.8	02.12.2007	29.11.1979	301.4	397.3
Берингово море	162.7	-245.3	-14.2	-206.2	-223.1	1.5	-121.3	-165.3	21.9	783.9	327.9	317.8
	102.7	-60.1	-8.0	-55.9	-57.8	0.9	-42.7	-50.4	02.12.2007	26.12.1999	327.9	317.0
Сектор 170°W-	5668.1	138.8	660.7	160.2	14.7	2.8	116.1	-90.6	4155.1	6422.7	5758.7	5836.7
45°W	3000.1	2.5	13.2	2.9	0.3	0.0	2.1	-1.6	29.11.2010	28.12.1982	3730.7	3030.7
Море Бофорта	486.6	0.0	0.0	0.0	0.0	0.0	0.0	0.0	483.4	486.6	486.6	486.6
тиоре вофорта	400.0	0.0	0.0	0.0	0.0	0.0	0.0	0.0	04.12.2003	29.11.1978	400.0	400.0
Гудзонов залив	806.8	251.7	330.1	172.5	113.3	55.8	133.4	91.1	63.6	839.0	715.7	810.3
т удзонов залив	800.8	45.3	69.2	27.2	16.3	7.4	19.8	12.7	29.11.1998	29.11.1986	713.7	010.5
Море Лабрадор	37.5	25.7	26.6	16.2	24.3	-8.1	15.2	-9.9	0.0	321.7	47.5	21.8
море лаорадор	37.5	218.4	243.5	76.2	183.8	-17.8	68.0	-20.9	29.11.2012	28.12.1984	47.5	21.0
Дейвисов пролив	272.0	0.6	141.9	-15.2	4.2	-32.2	9.1	-45.4	57.5	588.8	317.3	307.4
<u> Немвисов пролив</u>	212.0	0.2	109.1	-5.3	1.6	-10.6	3.5	-14.3	30.11.2010	24.12.1984	317.3	307.4
Канадский	1159.5	30.9	196.7	104.4	25.8	1.0	51.0	15.6	851.0	1190.1	1143.9	1185.4
архипелаг	1109.0	2.7	20.4	9.9	2.3	0.1	4.6	1.4	29.11.2010	29.11.1986	1143.9	1100.4

Таблица 8 – Средние, аномалии среднего и экстремальные значения ледовитостей для Южного океана и его отдельных акваторий за текущие 7-дневный (неделя) и 30-дневный промежутки времени по данным наблюдений SSMR-SSM/I-SSMIS-AMSR2, алгоритм NASATEAM/BOOTSTRAP за период 1978-2014 гг.

22-28.12

	C 7110			Анома	алии, тыс	<u>км²/%</u>	-			1978-20)14гг	
Регион	S, тыс. км ²	2009 г	2010 г	2011 г	2012 г	2013 г	2004- 2014гг	1978- 2014гг	Минимум дата	Максимум дата	Среднее	Медиана
Южный Океан	10205.8	1207.2	1333.6	1189.4	1627.6	260.5	1167.5	1696.5	6422.5	11225.0	9500.2	0405.0
Южный Океан	10205.6	13.4	15.0	13.2	19.0	2.6	12.9	19.9	28.12.1979	22.12.2007	8509.3	8425.2
Атлантический	4312.8	53.6	1578.7	-383.7	283.8	168.1	359.1	671.4	2321.5	5293.6	3641.5	3546.6
сектор	4312.0	1.3	57.7	-8.2	7.0	4.1	9.1	18.4	28.12.2010	22.12.2007	3041.3	3340.0
Западная часть	2111.9	188.0	614.5	150.9	-172.8	-53.9	158.0	244.5	1172.8	2300.7	1867.4	1900.4
моря Уэдделла	2111.9	9.8	41.0	7.7	-7.6	-2.5	8.1	13.1	28.12.2001	24.12.2012	1007.4	1900.4
Восточная часть	2200.9	-134.4	964.2	-534.5	456.6	222.0	201.1	426.9	817.8	3322.9	1774.0	1667.5
моря Уэдделла	та	-5.8	78.0	-19.5	26.2	11.2	10.1	24.1	28.12.1979	22.12.2008	1774.0	1007.5
Индоокеанский	1272.4	-48.1	-390.4	68.9	88.2	-325.4	-13.0	72.8	867.6	1777.8	1199.6	1190.9
сектор	1272.4	-3.6	-23.5	5.7	7.4	-20.4	-1.0	6.1	28.12.1982	22.12.2010	1199.0	1130.3
Mope	243.5	-191.4	-471.5	-1.4	22.4	-36.2	-80.4	-62.8	148.2	770.2	306.3	277.6
Космонавтов	243.5	-44.0	-65.9	-0.6	10.1	-13.0	-24.8	-20.5	28.12.1986	22.12.2010	300.3	211.0
Mope	394.6	190.9	-93.2	41.1	213.8	-87.7	55.7	105.1	119.0	523.7	289.6	271.5
Содружества	334.0	93.7	-19.1	11.6	118.2	-18.2	16.4	36.3	28.12.1993	22.12.2010	209.0	271.5
Море Моусона	634.2	-47.7	174.2	29.2	-147.9	-201.4	11.6	30.5	398.6	889.1	603.7	584.4
тиоре тиоусона	004.2	-7.0	37.9	4.8	-18.9	-24.1	1.9	5.1	28.12.2006	22.12.2013	003.7	304.4
Тихоокеанский	4620.6	1201.7	145.4	1504.3	1255.7	417.8	821.4	952.4	2583.7	4789.4	3668.2	3625.2
сектор	4020.0	35.1	3.2	48.3	37.3	9.9	21.6	26.0	28.12.1979	22.12.2014	3000.2	3023.2
Mope Pocca	4146.6	1099.1	160.4	1547.9	1306.8	678.9	827.4	982.1	1943.8	4268.1	3164.4	3115.7
•	7170.0	36.1	4.0	59.6	46.0	19.6	24.9	31.0	28.12.1979	22.12.2014	3104.4	3113.7
Mope	474.0	102.6	-15.0	-43.6	-51.1	-261.2	-6.0	-29.7	327.2	926.0	503.8	487.2
Беллинсгаузена	7/7.0	27.6	-3.1	-8.4	-9.7	-35.5	-1.3	-5.9	24.12.2008	22.12.1986	505.0	40 7.2

29.11-28.12

	S. тыс. Аномалии, тыс км²/%								1978-2014гг			
Регион	S, тыс. км²	2009 г	2010 г	2011 г	2012 г	2013 г	2004- 2014гг	1978- 2014гг	Минимум	Максимум	Среднее	Медиана
		1001 1	250.0	640.4	110F 0	20.0			дата	дата	-	
Южный Океан	12324.8	1061.1	359.9	619.4	1195.0	-29.9	761.1	1237.2	6422.5	15378.2	11087.5	11225.0
		9.4	3.0	5.3	10.7	-0.2	6.6	11.2	28.12.1979	29.11.2010		
Атлантический	5306.2	404.3	949.6	-262.6	211.0	166.2	217.3	425.5	2321.5	6745.5	4880.7	5009.3
сектор	0000.2	8.2	21.8	-4.7	4.1	3.2	4.3	8.7	28.12.2010	29.11.1988		0000.0
Западная часть		198.0	586.0	191.6	-105.1	3.4	166.7	196.2	1172.8	2463.1	1982.4	2004.4
моря Уэдделла	2170.0	10.0	36.8	9.6	-4.6	0.2	8.3	9.9	28.12.2001	29.11.1997	1902.4	2004.4
Восточная часть моря Уэдделла		206.4	363.7	-454.2	316.1	162.8	50.6	229.3	817.8	4457.4	2898.3	3019.8
	3127.0	7.1	13.2	-12.7	11.2	5.5	1.6	7.9	28.12.1979	29.11.2003	2090.3	3019.6
Индоокеанский	1854.4	-276.3	-541.4	72.7	164.1	-284.8	-52.9	70.2	867.6	3318.7	1784.3	4700.0
сектор		-13.0	-22.6	4.1	9.7	-13.3	-2.8	3.9	28.12.1982	29.11.2010	1784.3	1708.6
Mope	400.7	-377.7	-546.4	34.2	14.3	-89.5	-138.8	-77.1	148.2	1299.7	540.8	405.0
Космонавтов	463.7	-44.9	-54.1	8.0	3.2	-16.2	-23.0	-14.3	28.12.1986	30.11.2010	540.8	485.3
Море	629.0	128.0	-58.7	145.0	246.1	88.8	107.7	139.6	119.0	1106.2	400.4	477.4
Содружества	629.0	25.5	-8.5	30.0	64.3	16.4	20.7	28.5	28.12.1993	29.11.1985	489.4	477.4
Море Моусона	761.7	-26.6	63.7	-106.5	-96.4	-284.1	-21.8	7.6	398.6	1349.3	754.1	735.9
іморе імоусона	701.7	-3.4	9.1	-12.3	-11.2	-27.2	-2.8	1.0	28.12.2006	29.11.2013	754.1	735.9
Тихоокеанский	5164.1	933.1	-48.3	809.3	819.9	88.8	596.6	741.6	2583.7	6122.1	4422.5	4447.3
сектор	3104.1	22.1	-0.9	18.6	18.9	1.7	13.1	16.8	28.12.1979	29.11.1998	4422.5	4447.3
Mono Pocco	4580.8	957.0	-13.5	752.6	962.0	352.9	591.4	747.0	1943.8	5565.3	3833.8	3863.6
Mope Pocca	4000.0	26.4	-0.3	19.7	26.6	8.3	14.8	19.5	28.12.1979	29.11.1998	3033.0	3003.0
Mope	583.3	-23.9	-34.8	56.7	-142.1	-264.2	5.3	-5.4	318.5	1156.1	588.8	560.6
Беллинсгаузена	505.5	-3.9	-5.6	10.8	-19.6	-31.2	0.9	-0.9	06.12.2008	01.12.1986		

Таблица 9 — Динамика изменения значений ледовитости по сравнению с предыдущей неделей для морей Северной полярной области и Южного океана за текущий 7-дневный (неделя) промежуток времени по данным наблюдений SSMIS-AMSR2

22.	വ വ	1	2
72.	-20	١. ١	_

Регион	Сев. полярная область	Сектор 45°W-95°E	Гренландское море	Баренцево море
Разность	389.1	179.0	21.5	129.4
тыс.кв.км/	55.6	25.6	3.1	18.5
сут.				
		22-28.12		
Регион	Карское море	Сектор 95°E-170°W	Море Лаптевых	Восточно-Сибирское море
Разность	30.2 4.3	84.2 12.0	0.0	0.0
тыс.кв.км/ сут.			0.0	0.0
		22-28.12		
Регион	Чукотское море	Берингово море	Сектор 170°W-45°W	Море Бофорта
Разность	0.0	79.2	126.0	0.0
тыс.кв.км/	0.0	11.3	18.0	0.0
сут.				
		22-28.12		
Регион	Гудзонов залив	Море Лабрадор	Дейвисов пролив	Канадский архипелаг
Разность	0.0	21.6	24.0	3.8
тыс.кв.км/	0.0	3.1	3.4	0.5
сут.				
		22-28.12		
Регион	Южный Океан	Атлантический	Западная часть	Восточная часть
		сектор	моря Уэдделла	моря Уэдделла
Разность	-1372.7	-689.6	-62.3	-627.3
тыс.кв.км/	-196.1	-98.5	-8.9	-89.6
сут.				
Г Т		22-28.12		
Регион	Индоокеанский сектор	Море Космонавтов	Море Содружества	Море Моусона
Разность	-326.5	-87.4	-169.6	-69.5
тыс.кв.км/	-46.6	-12.5	-24.2	-9.9
сут.				
		22-28.12		
Регион	Тихоокеанский	Mope Pocca	Mope	
	сектор		Беллинсгаузена	
Разность	-356.6	-292.4	-64.3	
тыс.кв.км/ сут.	-50.9	-41.8	-9.2	

Характеристика исходного материала и методика расчетов

условий Арктического региона Для иллюстрации ледовых совмещенные региональные карты ААНИИ, ГМЦ России, ледовой службы Германии (ВSH), Канадской ледовой службы – КЛС и Национального ледового центра США - НЛЦ. Совмещение карт выполнено путем перекрытия слоев (ААНИИ, слой #1), (региональная карта НЛЦ, слой #1), (ГМЦ России, слой #1), (BSH, слой #1) -> (КЛС, слой #2) -> (обзорная карта НЛЦ, слой #3). Как результат, карты ААНИИ характеризуют ледовые условия морей Гренландского... Бофорта и Охотского, карты ГМЦ России – Азовского, Каспийского и Белого, карты НЛЦ – Берингова моря, карты BSH – Балтийского карты КЛС - морей Бофорта, Канадского архипелага, Баффина, Девисова пролива, Лабрадор, Св. Лаврентия, а НЛЦ - Арктического Бассейна, Линкольна, южной части Гренландского моря, а также в летний период – моря Бофорта, Чукотское и Берингово (при этом полный охват карт НЛЦ – вся акватория СЛО и субполярные моря). Для построения совмещенных карт используется архив данных в обменном формате ВМО СИГРИДЗ Мирового центра данных по морскому льду (МЦД МЛ). В пределах отдельного срока выборка карт из архива проводилась по критериям близости карт к сроку выпуска карты ААНИИ с максимальным интервалом времени между картами до 7 суток (день недели выпуска карт ААНИИ и ГМЦ Россиикаждая среда, BSH – каждый понедельник, КЛС – каждый вторник, НЛЦ – 1 раз в 2 недели по вторникам для циркумполярных карт и понедельник – четверг для региональных карт).

Для иллюстрации полей толщин льда СЛО использованы ежедневные данные по распределению средневзвешенной толщины льда численной модели ACNFS. Численная модель ACNFS имеет пространственное разрешение 1/12° и является совместной моделью морского льда — океана диагностики и краткосрочного прогнозирования состояния ледяного покрова всех акваторий Северного полушария севернее 40 с.ш. В модели ACNFS используется ледовый блок СІСЕ (Hunke and Lipscomb, 2008), совмещенный с моделью океана HYCOM (Metzger et al., 2008, 2010). Атмосферный форсинг включает поля приземных метеопараметров и радиационного баланса поверхности. Исходная ледовая информация, используемая для расчетов по модели, включают данные альтиметра, ТПО, сплоченность, профиля температуры и солёности воды.

Для иллюстрации ледовых условий Южного океана, а также Северной Полярной области за последние сутки используются ежедневные циркумполярные ледовые информационные продукты НЛЦ США по оценке расположения кромки льда и ледяных массивов - MIZ (Marginal Ice Zone).

Для цветовой окраски карт использован стандарт ВМО (WMO/Td. 1215) для зимнего (по возрасту) и летнего (по общей сплоченности) периодов. Следует также отметить, что в зонах стыковки карт ААНИИ, ГМЦ России, КЛС и НЛЦ наблюдается определенная несогласованность границ и характеристик ледовых зон вследствие ряда различий в ледовых информационных системах подготавливающих служб (карты для Балтийского моря представлены только ВЅН или ААНИИ). Однако, данная несогласованность несущественна для целей интерпретации ледовых условий в рамках настоящего обзора.

Для получения оценок ледовитости (extent) и приведенной ледовитости — площади льда (area) отдельных секторов, морей, частей морей Северной полярной области и Южного океана и климатического положения кромок заданной повторяемости на основе данных спутниковых систем пассивного микроволнового зондирования SSMR-SSM/I-SSMIS-AMSR2 в МЦД МЛ ААНИИ принята следующая технология расчетов:

– источник данных – архивные (Cavalieri et al., 2008, Meier et al., 2006) и квазиоперативные (Maslanik and Stroeve, 1999) с задержкой 1-2 дня ежедневные матрицы (поля распределения) оценок общей сплоченности Северной (севернее 45° с.ш.) и Южной (южнее 50° с.ш.) Полярных областей на основе обработанных по алгоритму NASATEAM данных многоканальных микроволновых радиометров SSMR-SSM/I-SSMIS ИСЗ NIMBUS-7 и DMSP за период с 26.10.1978 г. по настоящий момент времени, копируемые с сервера НЦДСЛ;

- источник данных ежедневные матрицы (поля распределения) оценок общей сплоченности Северной и Южной полярной областей на основе обработанных по алгоритму Bootstrap данных многоканального микроволнового радиометра AMSR2 ИСЗ GCOM-W1(SHIZUKU) за период с 01.07.2012 г. по настоящий момент времени, предоставленные Японским космическим агентством (provided by JAXA);
- область расчета Северная и Южная Полярные области и их регионы с использованием масок океан/суша НЦДСЛ (http://nsidc.org/data/polar_stereo/tools_masks.html);
- границы используемых масок расчета отдельных меридиональных секторов, морей, частей морей Северной полярной области и Южного океана представлены на рисунках П1 П2, не совпадают с используемыми в НЦДСЛ масками для отдельных акваторий Мирового океана и основаны на номенклатуре ААНИИ для морей Евразийского шельфа (Гренландское Чукотское), Атласе Северного ледовитого океана (1980) и Атласе океанов (1980) издательства ГУНИО МО.
- вычислительные особенности расчета авторское программное обеспечение ААНИИ с сохранением точности расчетов и оценке статистических параметров по гистограмме распределения и свободно-распространяемое программное обеспечение GDAL для векторизации полей климатических параметров;

Исходная информация в формате ВМО СИГРИЗ доступна на сервере МЦД МЛ по адресам http://wdc.aari.ru/datasets/d00031 (карты КЛС), http://wdc.aari.ru/datasets/d0031 (карты НЛЦ),), http://wdc.aari.ru/datasets/d0033 (карты ГМЦ России) и), http://wdc.aari.ru/datasets/d0035 (карты ВSН).

В графическом формате PNG совмещенные карты ААНИИ-КЛС-НЛЦ доступны по адресу http://wdc.aari.ru/datasets/d0040.

Результаты расчетов ледовитости Северной, Южной полярных областей, их отдельных меридиональных секторов, морей и частей морей доступны на сервере МЦД МЛ ААНИИ в каталогах соответственно http://wdc.aari.ru/datasets/ssmi/data/north/extent/. и http://wdc.aari.ru/datasets/ssmi/data/north/extent/.

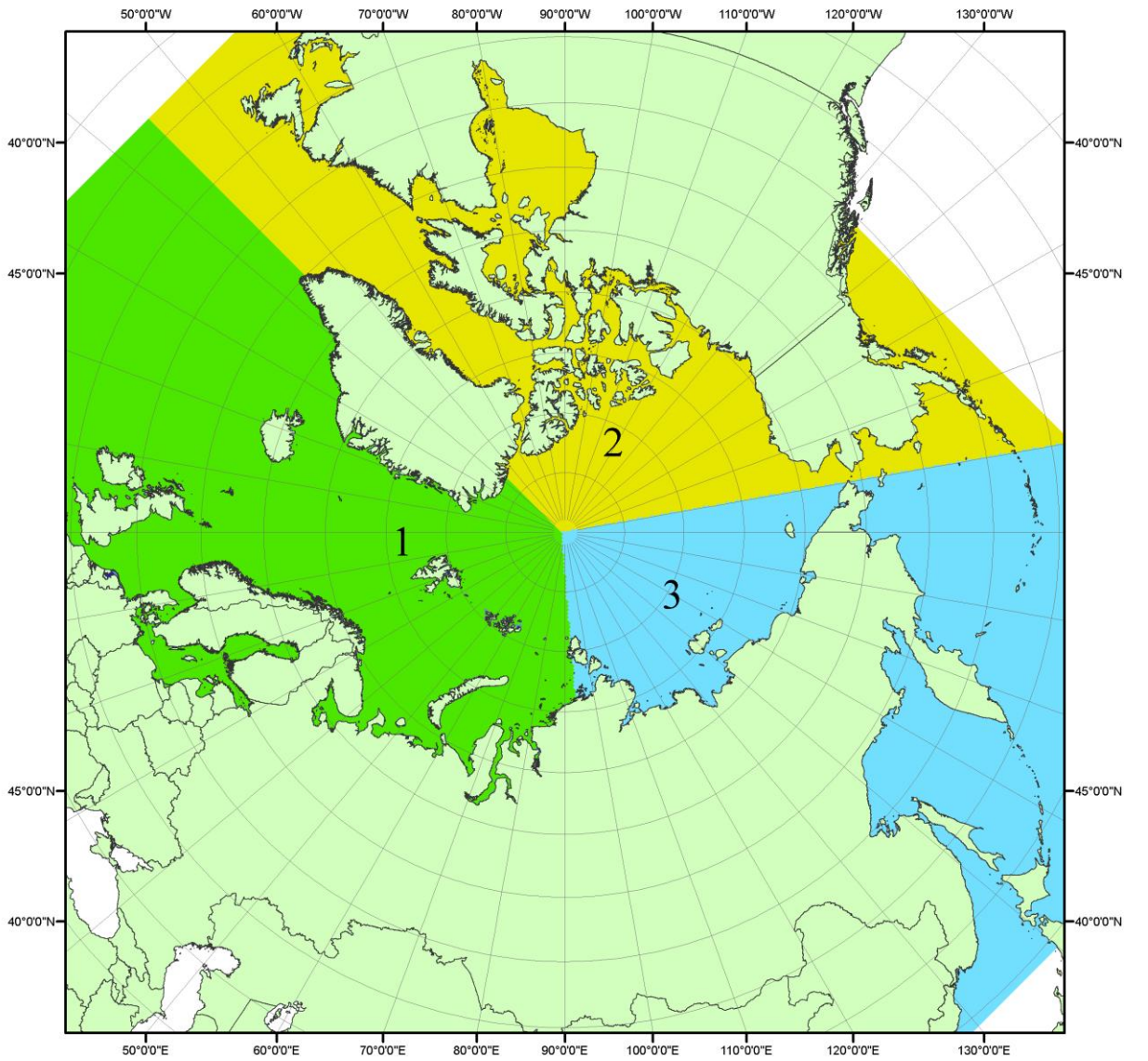


Рисунок П1 — Секторальное деление северной полярной области. 1 - Сектор 45°W-95°E (Гренландское - Карское моря); 2 - Сектор 170°W-45°W (море Бофорта и Канадская Арктика); 3 - Сектор 95°E-170°W (моря Лаптевых - Чукотское, Берингово, Охотское, Японское)

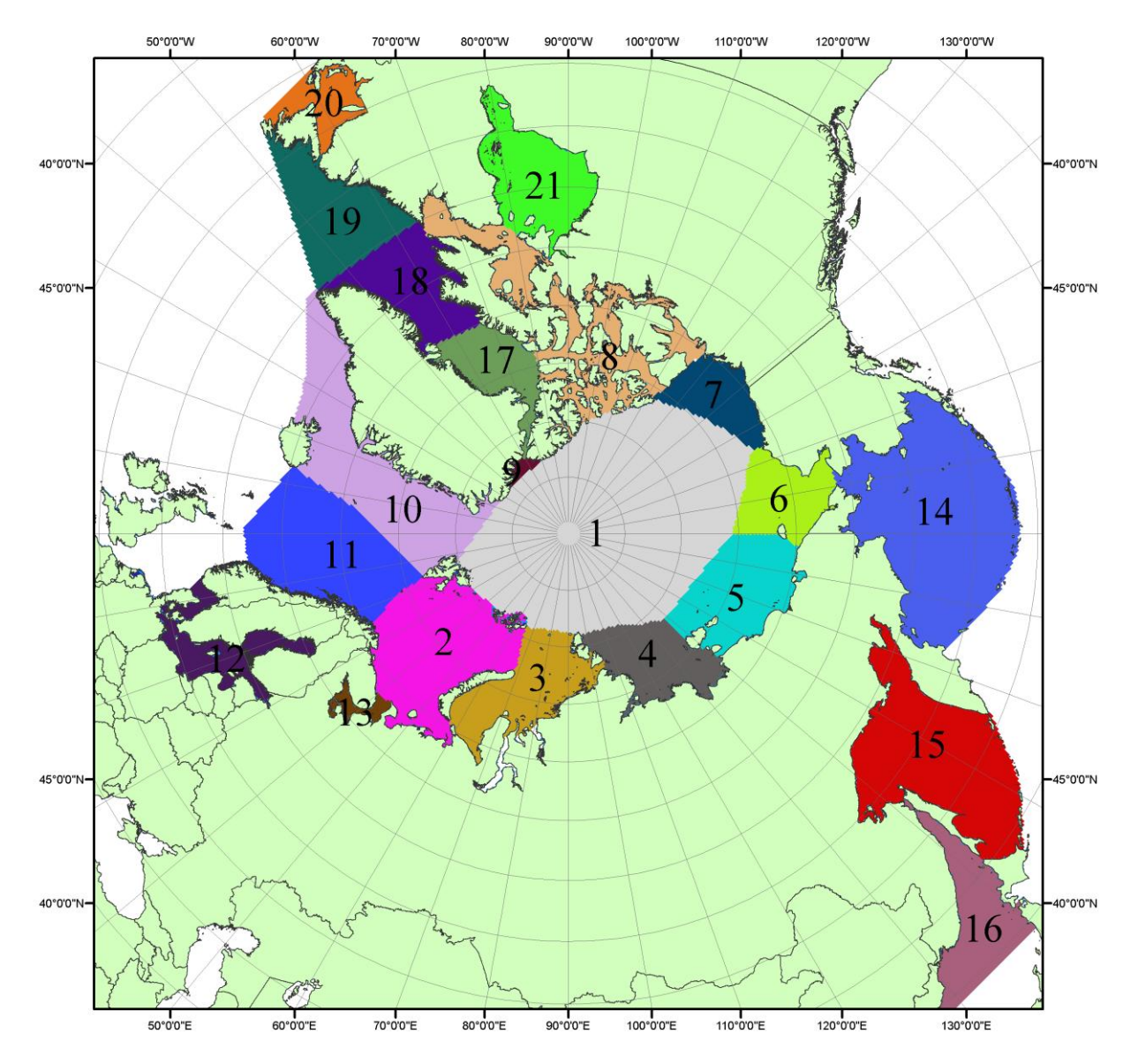


Рисунок П2 — Моря северной полярной области. 1 — Арктический бассейн; 2- Баренцево море; 3 — Карское море; 4 — море Лаптевых; 5 - Восточно-Сибирское море; 6 — Чукотское море; 7 — море Бофорта; 8 — Канадский архипелаг; 9 — море Линкольна; 10 — Гренландское море; 11 — Норвежское море; 12 — Балтийское море; 13 — Белое море; 14 — Берингово море; 15 — Охотское море; 16 — Японское море; 17 — море Баффина; 18 — Дейвисов пролив; 19 — море Лабрадор; 20 — залив Святого Лаврентия; 21 — Гудзонов залив.

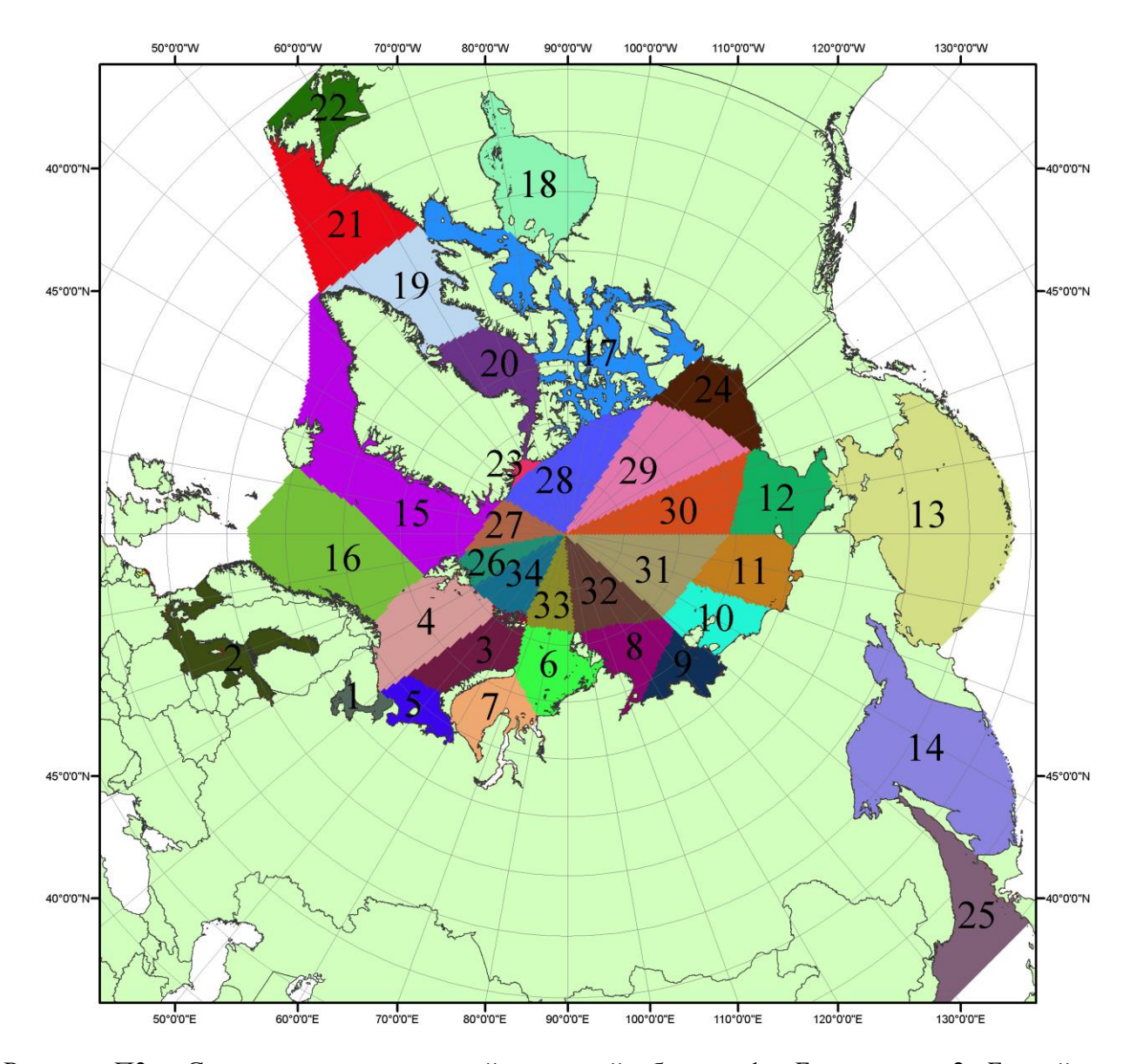


Рисунок ПЗ — Сектора и моря северной полярной области. 1 - Белое море; 2- Балтийское море; 3 — Баренцево море (СВ); 4 — Баренцево море (З); 5 - Баренцево море (ЮВ); 6 — Карское море (СВ); 7 — Карское море (ЮЗ); 8 — море Лаптевых (В); 9 — море Лаптевых (З); 10 — Восточно-Сибирское море (З); 11 — Восточно-Сибирское море (В); 12 — Чукотское море; 13 — Берингово море; 14 — Охотское море; 15 — Гренландское море; 16 — Норвежское море; 17 — Канадский архипелаг; 18 — Гудзонов залив; 19 — Дейвисов пролив; 20 - море Баффина; 21 — море Лабрадор; 22 - залив Святого Лаврентия; 23 - море Линкольна; 24 - море Бофорта; 25 - Японское море; 26 - сектор АО (30°з.д. — 10°в.д.); 27 — сектор АО (10°в.д. — 30°в.д.); 28 - сектор АО (30°в.д. — 65°в.д.); 29 - сектор АО (65°в.д. — 96°в.д.); 30 - сектор АО (96°в.д. — 140°в.д.); 31 - сектор АО (140°в.д. — 180°в.д.); 32 - сектор АО (180°в.д. — 156°з.д.); 33 - сектор АО (156°з.д. — 123°з.д.); 34 - сектор АО (123°з.д. — 30°з.д.).

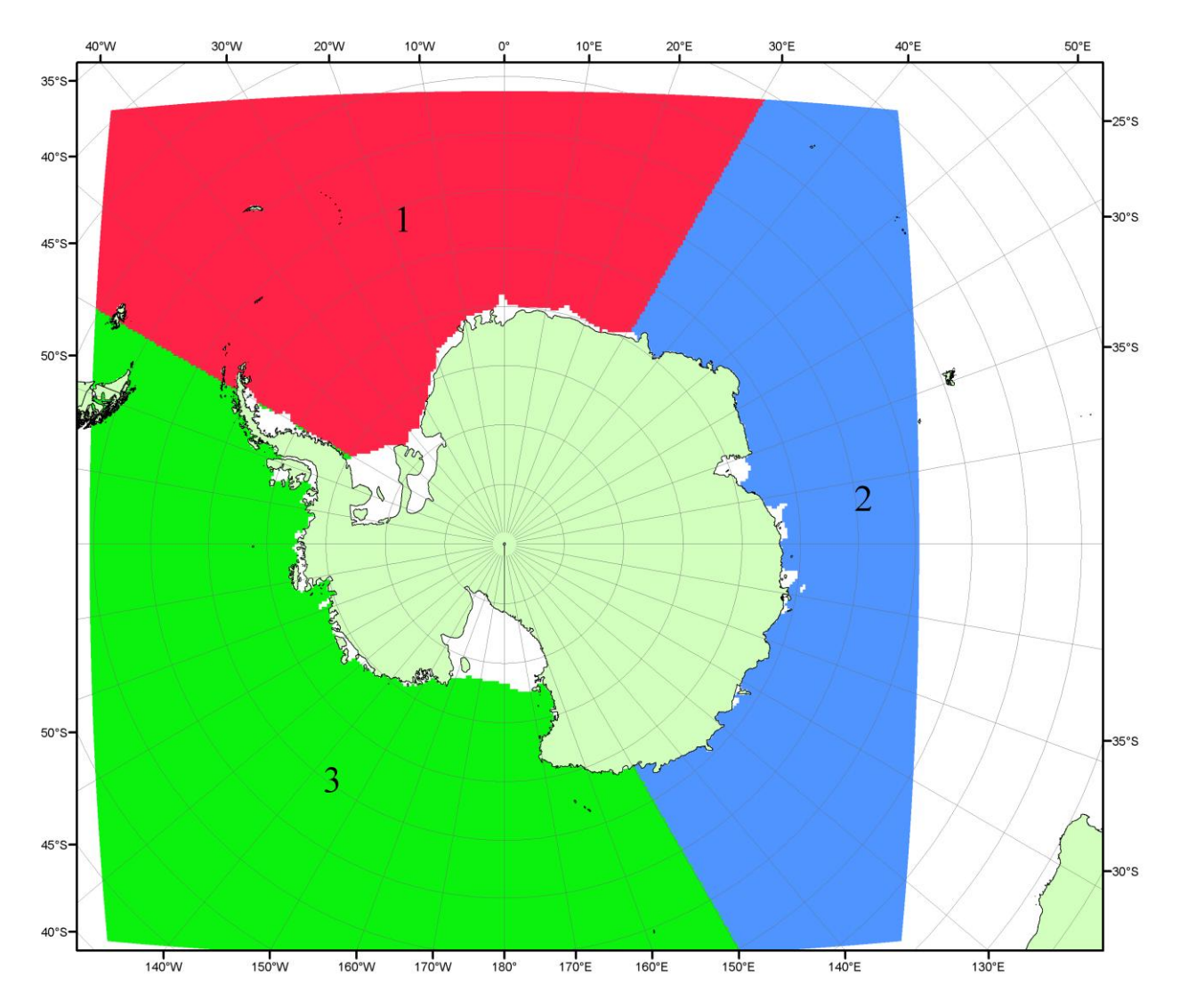


Рисунок П4 — Секторальное деление Южного океана. 1 - Атлантический сектор (60° W- 30° E, море Уэдделла); 2 - Индоокеанский сектор (30° E- 150° E, моря Космонавтов, Содружества, Моусона); 3 - Тихоокеанский сектор (150° E- 60° W, моря Росса, Беллинсгаузена)

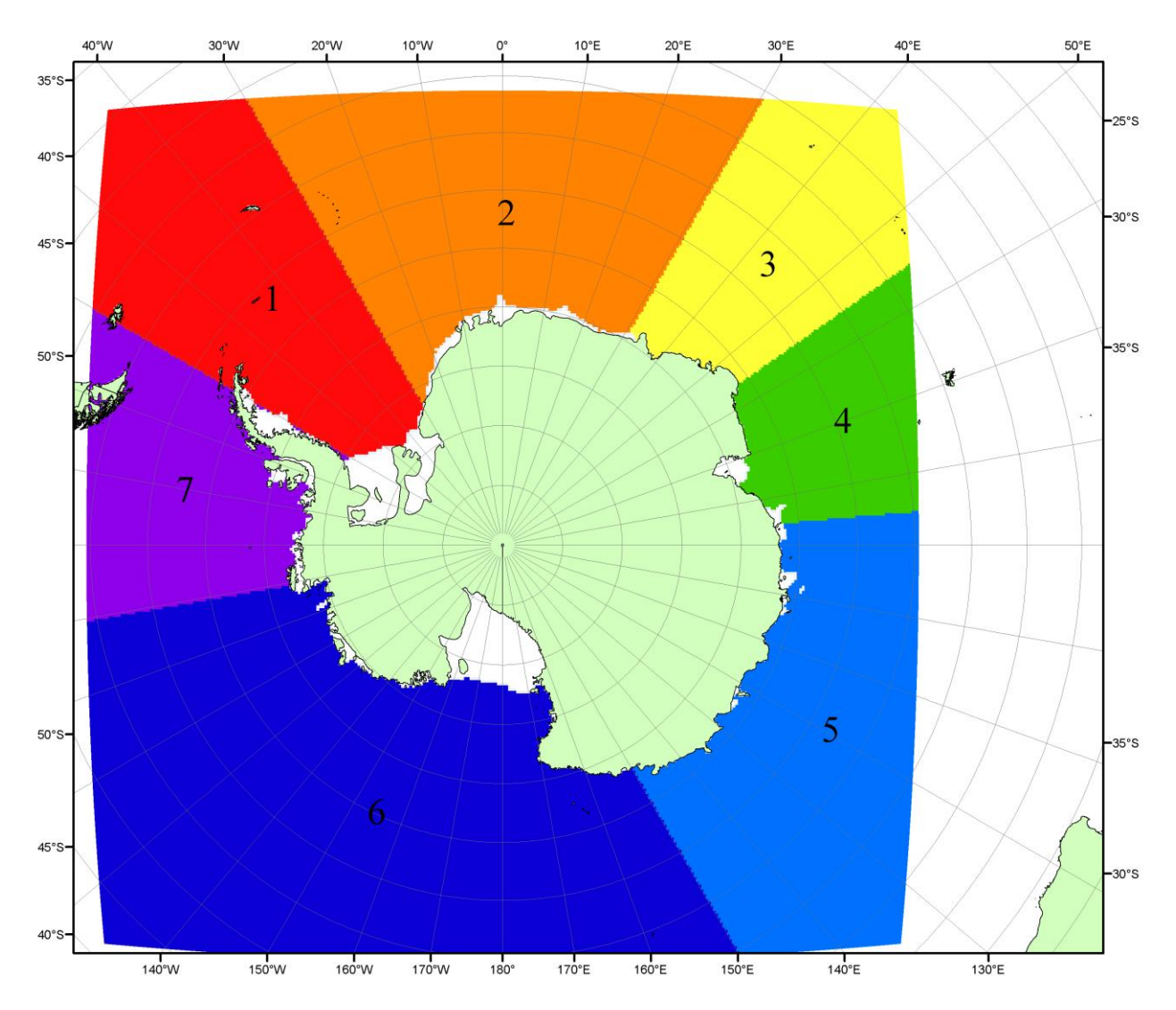


Рисунок П5 — Моря Южного океана. 1 — Западная часть моря Уэдделла; 2- Восточная часть моря Уэдделла; 3 — Море Космонавтов; 4 — море Содружества; 5 — море Моусона; 6 — море Росса; 7 — Море Беллинсгаузена.

Список источников

- 1. Атлас океанов. Северный Ледовитый океан. 1980. М: Изд. ГУНИО МО СССР ВМФ 184 с.
- 2. Атлас океанов. Термины. Понятия. Справочные таблицы. Изд. ВМФ МО СССР.-1980.
 - 3. Границы океанов и морей. 1960. Л.: Изд. ГУНИО ВМФ. 51 с.
- 4. Andersen, S., R. Tonboe, L. Kaleschke, G. Heygster, and L. T. Pedersen, Intercomparison of passive microwave sea ice concentration retrievals over the high-concentration Arctic sea ice.// J. Geophys. Res. 2007. Vol. 112. C08004, doi:10.1029/2006JC003543.
- 5. Cavalieri, D., C. Parkinson, P. Gloersen, and H. J. Zwally. 1996, updated 2008. *Sea Ice Concentrations from Nimbus-7 SMMR and DMSP SSM/I Passive Microwave Data*, [1978.10.26 2007.12.31]. Boulder, Colorado USA: National Snow and Ice Data Center. Digital media.
- 6. Meier, W., F. Fetterer, K. Knowles, M. Savoie, M. J. Brodzik. 2006, updated quarterly. *Sea Ice Concentrations from Nimbus-7 SMMR and DMSP SSM/I Passive Microwave Data*, [2008.01.01 2008.03.25]. Boulder, Colorado USA: National Snow and Ice Data Center. Digital media.
- 7. Maslanik, J., and J. Stroeve. 1999, updated daily. *Near-Real-Time DMSP SSM/I-SSMIS Daily Polar Gridded Sea Ice Concentrations*, [2008.03.26 present moment]. Boulder, Colorado USA: National Snow and Ice Data Center. Digital media.
- 8. Ice Chart Colour Code Standard. JCOMM Technical Report Series No. 24, 2004, WMO/TD-No.1215.
- (http://jcomm.info/index.php?option=com_oe&task=viewDocumentRecord&docID=4914)
- 9. JAXA GCOM-W1 ("SHIZUKU") Data Providing Service http://gcom-w1.jaxa.jp/index.html
 - 10. ACNFS on Internet http://www7320.nrlssc.navy.mil/hycomARC
- 11. Posey, P.G., E.J. Metzger, A.J. Wallcraft, O.M Smedstad and M.W. Phelps, 2010: <u>Validation of the 1/12° Arctic Cap Nowcast/Forecast System (ACNFS)</u>. Naval Report NRL/MR/7320-10-9287, Stennis Space Center, MS.